

VSEBINA

Ing. Franc Babšek — Bela pločevina — DK 669.686	25
Ing. Janko Mede — Osnutek tipizacije žerjavov v Železarni Jesenice — DK 621.873	30
Ing. Jože Kramar — Delovanje električne peći na tokovni lok — DK 621.365.2	33
Ing. Janko Zaletel — Apnenec in njegova upo- raba v metalurgiji — DK 666.9	41
Nove knjige v strokovni knjižnici	47
Popravek	48

»ŽELEZAR«

TEHNIČNA PRILOGA

Tehnična priloga Železara – Glasilo DIT Jesenice, leto III, št. 1. Odgovorni urednik ing. Mede Janko. Tehnički biro, telefon št. 495. Člani uredniškega odbora: ing. Čop Stanko, ing. Gabrovšek Marin, ing. Gregorčič Miloš, ing. Sešek Slavica, ing. Kramar Jože, ing. Sešek Pavle, Stare Marjan, ing. Urbančič Jože, Žagar Edo.

Tisk: CP »Gorenjski tisk«, Kranj

LETNO

JUNIJ 1961

ŠT. 2

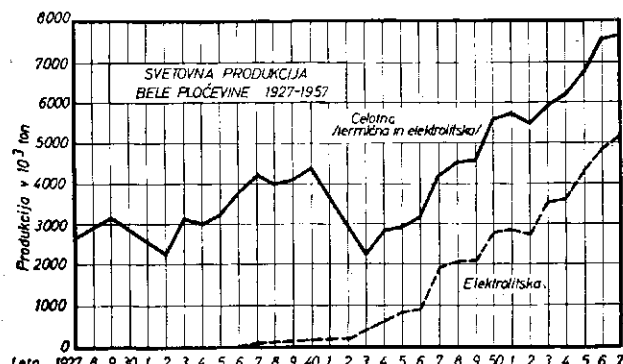
Ing. Franc Babšek

DK 669.686

Bela pločevina

Jeklen trak, ki je razrezan v ploše in prevlečen s tanko plastjo kositra, je zaradi svoje značilne barve dobil ime bela pločevina. Tudi v drugih jezikih ima ta izdelek moderne predčolovane industrije podobna imena. (Weissblech, belaja žest, tin plate).

Močan porast proizvodnje bele pločevine v svetu je nastopal po letu 1900 in je znašala svetovna proizvodnja leta 1956 7,7 milijonov ton. V letu 1936 so začeli v industrijo uvajati elektrolitske postopke za proizvodnjo bele pločevine, ki so od tedaj vodno bolj izpodrivali termično pokositreno pločevino. Razmerje med elektrolitsko belo pločevino in termično pokositreno belo pločevino je iz leta v letu rastlo, vendar pa je iz diagrama slike 1 razvidno, da je absolutni iznos proizvodnje termično pokositrene bele pločevine ostal od 1943. leta približno isti.



Slika 1

To je razumljivo, če vemo, da elektrolitska pločevina ne more nadomestiti termično pokositrene pločevine na vseh poljih uporabe. Tudi v bodoče bosta verjetno termično pokositrena bela pločevina in elektrolitska bela pločevina živeli druga ob drugi, vsaka za svoje namene.

Na svetu je bilo leta 1956 okrog 21 proizvajalcev bele pločevine, ki so si po proizvodnji sledili takole:

ZDA	ton	Italija	ton
Anglija	4,969.052	Nizozemska	67.836
Francija	858.700	Južnoafri. unija	66.116
Kanada	337.842	Mehika	32.863
Japonska	277.770	Cile	29.382
Sovjetska zveza	240.833	Čehoslovaška	18.000
Zah. Nemčija	200.000	Spanija	16.000
Belgia	195.566	Poljska	15.548
Brazilija	106.127	Romunija	5.300
Indija	86.987	Avstrija	2.600
Saar	71.544		100
	70.404		

Kot je razvidno iz tabele so največji proizvajalci bele pločevine ZDA, kjer pomeni bila pločevina 5 % vse jeklaške industrije.

Porast porabe bele pločevine moramo pripisati združenim lastnostim tega materiala. Bela pločevina ima mehanske lastnosti jeklene osnove in odpornost proti koroziji, ki jo daje kositrova prevleka. Bela pločevina se predeluje na hitro tekočih avtomatih, ima lepo gladko in svetlo površino, je relativno poceni in ni strupena. Zaradi opisanih lastnosti je bela pločevina idealen material za prehrabljene in druge konserve, pokrovčke steklenic, kuhinjske potrebščine, različne vlečene dele radijskih aparatorov, električno opremo in igrače.

Jeklo za belo pločevino: Američani pripisujijo scstavi jekla zelo važno vlogo v končni odpornosti bele pločevine proti koroziji. Navadno se za belo pločevino uporabljajo martinska jekla. Jeklo iz bazične SM peči ima manj fosforja kot jeklo iz Bessemjerjevega konvertorja, ki se tudi uporablja za proizvodnjo bele pločevine, posebno takrat, kadar se od bele pločevine za nekatere proizvode zahteva večja togost. Fosfor navadno držijo v mejah do 0,15 %. Jeklo za belo pločevino je mehko in je navadno zgornja meja za ogljik pri 0,15 %; lahko pa je pomirjeno ali nepomirjeno. Ce se od jekla zahtvajo izrazite lastnosti globokega izvlačenja, potem jemljemo nepomirjeno jeklo in le redko uporabljamo pomirjeno jeklo.

Kot standardno analizo navajajo:

	C	Mn	P max	S max	Si	Cu max
Američani	0,04–0,15	0,20–0,60	0,15	0,05	sledi	0,20
Rusi	0,06–0,1	0,30–0,50	0,015	0,05	0,01	

Na korozijsko odpornost jekla vplivajo predvsem fosfor, baker in silicij, medtem ko ogljik in žveplo v pogojih, katerim je izpostavljena bila pločevina, nista tako pomembna. Konserve, izdelane iz bele pločevine, se včasih lakirajo s posebnimi laki. Fosfor in žveplo imata vpliv predvsem na živiljenjsko dobo lakiranih konserv, silicij pa na nelakirane konserve. Povečana vsebina fosfora in silicija je usodna za živiljenjsko dobo konserve, baker pa lahko podaljša ali skrajša živiljenje konserve, kar je odvisno od njene vsebine, vendar pa je prisotnost bakra večkrat škodljiva kot pa koristna.

Glede na namen uporabe belc pločevine imajo Američani tri tipc jekla: za najbolj zahtevne konserve uporabljajo hladno valjano martinško jeklo, sestave:

C	Mn	P	S	Cu	Ni	Cr
0,12	0,60	0,015	0,05	0,06	0,04	0,04

Drugi tip jekla, ki se uporablja za manj zahtevne namene, nima posebnih omejitve za baker, nikelj in krom, je pa še vedno hladno valjano martinsko jeklo.

Tretja vrsta jekla, ki se uporablja za belo pločevino, je martinsko ali Bessemerjevo jeklo, ki ima poleg prej navedenih sprostitev za krom, nikelj in baker, pomaknjeno zgornjo mejo za fosfor od 0,04 % do 0,15 %. Bela pločevina iz takega jekla se uporablja tam, kjer se od konserve zahteva le trdnost, ne pa korozjska odpornost. Poleg kemikske analize je za odpornost proti koroziji zelo važna toplotna obdelava jekla. Najboljše antikorozivne lastnosti dobimo, če jeklo po vročem valjanju hitro ohladimo in žarimo v suhi atmosferi, ki ima malo kisika in ogljika.

Kositer za belo pločevino: Glavna nahajališča kositra, ki dajejo 85 % svetovne proizvodnje so: Malaja, Nizozemska, Vzhodna Indija, Bolivijska, Siam, Kitajska, Kongo in Nigerija, ostalih 15 % pa dajejo Avstralija, rudniki in Cornwall, Južnoafriška unija, Indija. Kositer se nahaja v naravi kot oksid pod imenom kasiterit. Iz plavža dobimo surovi kositer, ki ga nato rafiniramo in dobimo kovino z 99,80 % Sn ali celo 99,98 % Sn.

Rusi navajajo za prvorstni kositer sestavo:

Sn	As	Fe	Cu	Pb	Bi	Sb	S
99,9	0,015	0,009	0,01	0,04	0,01	0,015	0,01

Vseh primesi ne sme biti več kot 0,14 %.

Nečistoče lahko razdelimo na tri skupine:

- Elementi, ki napravijo kositer krhek (Fe, As)
- Elementi, ki zmanjšajo korozjsko odpornost kositra (Cu, Al, Zn, Sb, Pb)
- Elementi, ki zastrupljajo kositer (As, Pb).

Aluminij in cink preprečujeta nastanek enovite prekleke in morata biti pod 0,002 %.

Kositer je lepe bele barve, z Lahnim modrikastim odtenkom, njegove najvažnejše fizikalne lastnosti pa so:

Atomsko število 50

Atomska teža 118,7

Gostota pri 15°C 7,285

Gostota pri tališču 6,98

Tališče 231,9°C

Talilna toplota 14,4 kcal/kg

Specifična toplota pri tališču 0,052 kcal/kg, °C

Trdota HB 5,0

Trdnost 1,5 kg/mm²

Raztezek (valjan in žarjen) 86 %

Raztezek (lit) 55 %

Tehnologija izdelave bele pločevine

V začetku so za izdelavo bele pločevine uporabljali toplo valjane plošče. Na debelino pod 1 mm so izvajali toplo valjanje plošč v paketih. Z uvedbo hladno valjanih trakov je hladno valjana jeklena plošča ali trak postala edina osnova za proizvodnjo bele pločevine. Toplo valjane plošče niso mogle več tekmovati v tolerancah dimenzij in kvaliteti površine s hladno valjanimi trakovi.

Tako ločimo danes dva načina proizvodnje bele pločevine:

- Način, pri katerem surov jeklen trak pred pokositrenjem razrežemo v plošče določenih dimenzij in obdelujemo v nadaljnjem tehničkem procesu vsako ploščo posebej v kontinuirnem postopku.
- Trak razrežemo v plošče šele nato, ko je že prevlečen s kositrom.

Vsek od obeh načinov dela ima svoje prednosti in pomajkljivosti. Ce potuje plošča po kontinuirni proggi, ki je dolga več desetih metrov, mora biti na taki proggi množica vodil, valjev in zapletenih električnih agregatov, da uravnava gibanje plošč. Take proge so drage in se odlikujejo z visoko stopnjo mehanizacije in avtomatizacije. Pomanjkljivost plošče, ki potuje skozi raztaljen kositer v vertikalni smeri je tudi nekoliko odbeljen spodnji rob. Kositer se pri odtekjanju nabira na spodnjem robu plošče in pri nedognanem postopku lahko to pomeni velike izgube na kositoru. Prednost pokositrene plošče po tem postopku je, da so prekriti vsi širje robovi in dejstvo, da lahko pošljemo ploščo na proggi šele tedaj, ko imajo valji v stroju za pokositrenje lepo površino. Ce nastopi na površini valjev napaka, lahko ustavimo tok plošč in nadljudimo z delom šele tedaj, ko smo odstranili to napako. Odstotek izmečka se pri takem delu lahko precej zmanjša.

Pri delu s trakovi je prednost v tem, da je proga mnogo bolj enostavna, ima pa izdelek dva nepokrita robova, ki nastaneta pri rezanju pokositrenega traku. Vse napake površine valjev odstranjujemo med obratovanjem in se sledovi tega dela poznajo na traku, ki ima na teh delih razne površinske napake.

Ne glede na razlike, ki nastopajo pri tehničnih izvedbah prog za termično pokositrenje, lahko proga razdelimo v tri dele:

Agregati, ki pripravljajo jeklene osnove za pokositrenje;

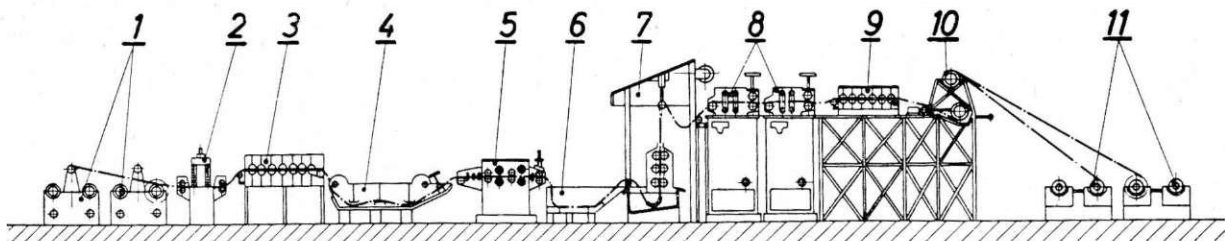
Naprava za pokositrenje jeklene osnove;

Cistilci za odstranjevanje palmovega olja in za enakomerno porazdelitev maščob na beli pločevini.

Slika 2 kaže shemo naprave za termično pokositrenje trakov. K prvemu delu naprave spadajo:

Odvijalci, varilni stroj, predgrevna peč, lužilna kad, pralni stroj, vodna raztopina reducenta.

Drugi del proge je označen kot agregat za pokositrenje trakov. Tretji del proge pa sestavlja: lužni izplakovalec, vodni izplakovalec, sušilna peč, vlečna naprava, navijalci. Posebna zaključna faza so razrezovalne škarje.



PREREZ PROGE ZA POKOSITRENJE TRAKOV

- LEGENDA: 1 - Odvijalci
2 - Varilni stroj
3 - Predgrevna peč
4 - Lužilna kad
5 - Pralni stroj
6 - Raztopina reducenta
7 - Agregat za pokositrenje
8 - Izplakovalec
9 - Sušilna peč
10 - Vlečna naprava
11 - Navijalci

Slika 2

Naprava, ki jo kaže shema na sliki 2 je kontinuirna naprava za pokositrenje trakov na Jesenicah, z letno kapaciteto 6000 ton bale pločevine. Naprava je konstruirana za trak debeline od 0,18 do 0,40 mm, širine do 530 mm. Hitrosti naprave so od začetne 1 m/min. do 5 m/min., delovne hitrosti se giblijojo med 2,5 m/min. in 3 m/min. Kompletno napravo sestavljata dve vzporedni progi, na vsaki progji pa tečeeta drug ob drugem dva trakova, tako da na obeh progah tečejo naenkrat skozi kositer širje trakovi. Skupna instalirana moč ene proge znaša 320 kW. Vsaka progga ima svoj pogon in svoje kose, tako da sta med seboj neodvisni in lahko delata neodvisno druga od druge. Oba trakova na isti proggi pa sta povezana na vseh pogonih in sta med seboj odvisna. Vse pogone oskrbujejo istosmerni električni motorji, ki jih napaja pretvorniška skupina Ward-Leonard. Vsaka progga ima svojo pretvorniško skupino. Skupno obema progama je le odsesavanje oljnih hlapov in dima z istim vetrilom preko vzporedno vezanih odsesavnih kap in odsesavanje kislinskih hlapov in hlapov, ki se razvijajo v reducentu. Skupno je tudi vetrilo za dovajanje zraka, s katerim hladimo električne motorje. Vsaka progga ima priključek na rečno in pitno vodo ter na komprimiran zrak. Gretje na progah je električno uporovno. Prvi pogon je na gumijastih valjih ob izhodu iz pralne komore z najlonjskimi rotacijskimi krtačami, gnani so vsi trije pari valjev v stroju za pokositrenje, naslednji pogon je ob izhodu iz sušilnih peči in komčno so gnani navjalci. Sušilne in predgrevne peči ter varilni aparati za vsak trak so med seboj ločeni, skupno za eno proggo pa je ogrevanje kositra in palmovega olja, ogrevanje lužnega izplakovalca in ogrevanje vodnega izplakovalca. Vsaka progga ima svoj

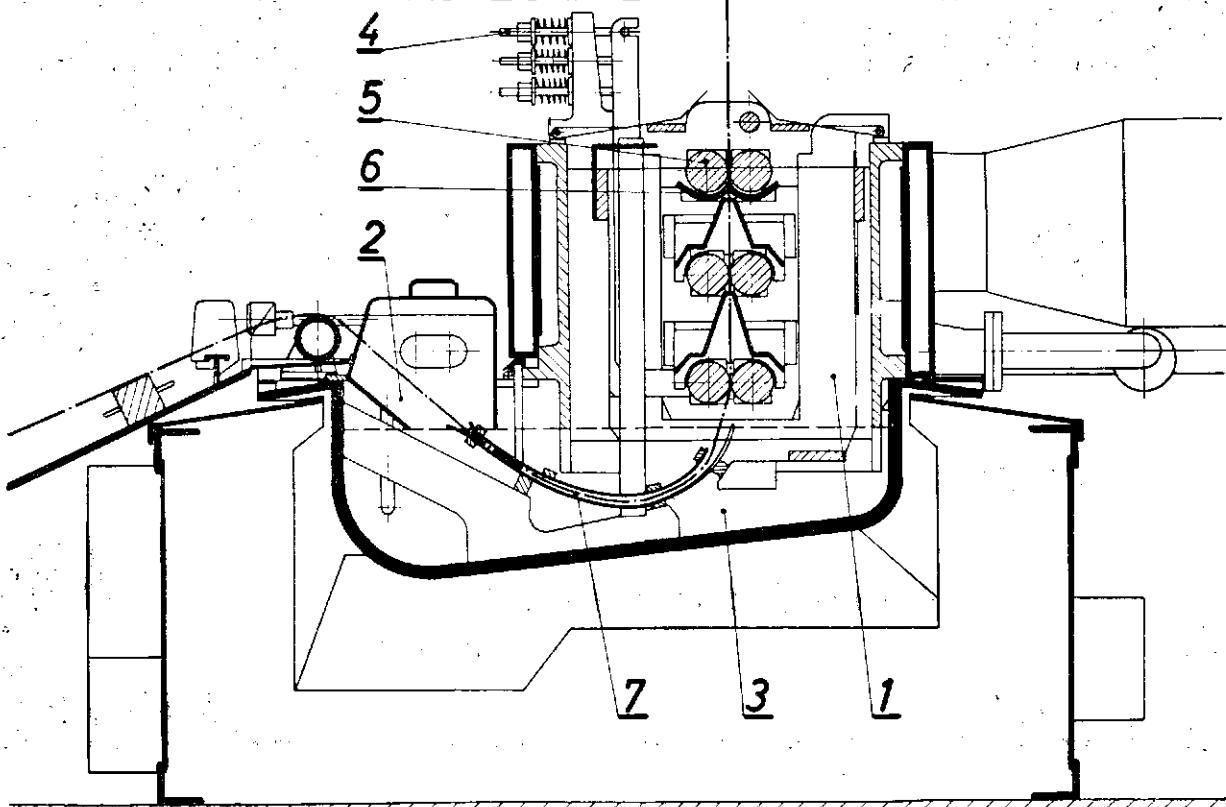
števec za merjenje porabe električne energije, tri ampermetre za merjenje jakosti toka v vsaki fazi, voltmeter za merjenje hitrosti gibanja traku na proggi, dva termoelementa za merjenje temperature kositra (ob vhodni strani traku in ob izstopu traku), dva živosrebrna instrumenta za merjenje temperature palmovega olja (zgoraj in spodaj) ter dva termoclementa za merjenje temperature električnih spiral prve in druge skupine električne peči za ogrevanje kositrove kopeli. Sušilne in predgrevne peči so opremljeni z živosrebrnimi stikali, ki regulirajo maksimalno temperaturo v teh delih proge.

Vsek trak ima dva odvijalca, ki sta prosto tekoča in katerih segmenti se lahko premikajo s pomočjo komprimiranega zraka. Ko se iz enega odvija trak, se na drugega že pripravlja nov kolobar. Kolobarje načikajo na odvijalce z mostnim žerjavom nosilnosti 3200 kg in razpetino 11.200 milimetrov. Kontinuirno delo na proggi zagotovi varilni aparat za točkasto varjenje.

Trak potuje iz navjalcev preko varilnega aparata v predgrevno peč, ki ga segreje na 80 do 100°C. Tako segret trak vstopa v 20% solno kislino. Zaradi prinesene topote segreje trak samo kislino v najbližji okolici in čiščenje je zelo efektivno, kislino pa moramo vedno sproti dodajati. Vsak mesec se kislina dekantira, žleze z soli z ostanki kisline razredčimo z vodo, neutraliziramo z apnom in spustimo v kanal.

Trak gre nato v komoro, kjer ga izpira tekoča voda in dve rotirajoči najlonjski krtači (ena z zgornje in ena s spodnje strani), ki sta priključeni direktno na os elektromotorja. Od tu trak vstopa v blago raztopino reducenta

AGREGAT ZA POKOSITRENJE



LEGENDA: 1 - Palmovo olje 4 - Mehanizem za stiskanje valjev 7 - Grebljice za vodenje traku
 2 - Reducent 5 - Valji 6 - Skodelice z raztajenim kositrom
 3 - Kositer

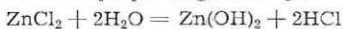
Slika 3

(ZnCl₂) in naprej v glavni del proge, ki ga kaže shema slike 3.

Kad, ki je napolnjena s kositrom, je v zgornjem delu predeljena v dva dela. Zgornji del je napolnjen s palmovevim oljem, ki plava na kositru, spodnji del pa je napolnjen z reducentom, ki tudi plava na kositru.

Reducent ima analogo, da odstrani iz traku vlago, okside, nečistoče ter ostanke maščobe. Navadno je reducent ZnCl₂ z dodatki amoniklorida (do 14%), ki zniža tališče reducenta. Tališče ZnCl₂ je 262°C. ZnCl₂ plava na kositru v debelini 70 do 100 mm. Reducent mora počasi vreti in moramo dovajati vedno nekoliko vlage, kajti če se reducent posuši, nastane sloj kositra, ki je porozen; preveč vlage pa močno razredči reducent, ki izgubi svojo aktivnost.

Pri dovajanju vlage nastopa v reducentu reakcija



Nastala solna kislina napada železove okside



nato pa v kositrovi kopeli nastopa reakcija



FeSn₂ predstavlja težki metal, ki se nabira na dnu kositrove kopeli in pomeni izgubo kositra in velike nevšečnosti v tehnološkem postopku proizvodnje bele pločevine. Temperatura reducenta ne sme biti nižja od 270°C, ker aktivnost reducenta pod to temperaturo močno pada.

Na shemi slike 3 vidimo, ta trak vstopa med 3 pare valjev stroja za pokositrenje, ki so potopljeni v palmove olje, tako da zadnji par valjev sega nekoliko nad gladino raztaljenega kositra. Zgornji par valjev sega nekoliko nad površino palmovega olja in se suče v skodelicah, ki so napolnjene z raztaljenim kositrom.

Ta način dela imenuje literatura suhi način, pri načinu dela pa, ki ga uporabljajo tako zapadne kot vzhodne države, sega palmove olje preko zgornjega para valjev; to imenujemo mokri način dela.

O suhem načinu pravijo izkušeni izdelovalci bele pločevine, da daje sloj neenakomerne debeline kositra in so porabe kositra večje kot pri mokrem načinu. Vendar pa je možno preiti na mokri način dela le tedaj, če čiščenje palmovega olja ne predstavlja nobenih težav.

Valji v stroju za pokositrenje so navadno napravljeni iz visoko ogljičnih jekel in toplotno obdelani na velike trdote, lahko so celo pokromani, da imajo bolj gladko površino. Premer valjev je od 90 do 100 mm. – Vsak par valjev je opremljen s »krtačami«, ki skrbijo za odstranjevanje trdega kositra, ki se nabere na površini valjev, ali ga trak prinese iz nižjih plasti kopeli. Za tanjše prevleke so vsi trije pari valjev opremljeni s krtačami, za debelejše prevleke pa nadomestijo krtač ob zgornjem paru valjev s skodelicami, kamor od časa do časa dolivajo staljen kosit; za še debelejše prevleke pa opremijo tudi srednji par valjev s skodelicami.

Krtače so napravljene v obliki sendviča, ki ga sestavlja zaporezne plasti

azbesta, ojačenega z jekleno žico
hladno valjanega traku
in milnega kamna (Soap stone)

Vse te plasti so močno stisnjene in povezane v ohišje. Krtača se dotika visokega valja po njegovi tvornici pod točno določenim kotom. Ko se sendvič, debeline približno 10 cm in širok približno 12 cm, izrabi do polovice, se namesti novega.

Stroji na opisani napravi nimajo teh krtač, zgornji par valjev pa imajo opremljen s skodelicami (shema sl. 3).

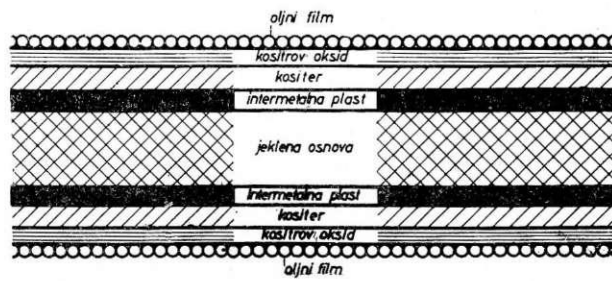
Pokositren trak izhaja iz zadnjega para valjev in zaradi akumulirane toplotne dopušča bohotno kristalizacijo kositra. Ponekad trak takoj ob izstopu energično hladijo z zrakom, da zavrejo razraščanje kristalov, na opisani napravi pa s pihanjem zraka ustvarjam dimamični tlak, da ne more olje v zev zadnjega para valjev.

Palmove olje ima v procesu termičnega pokositrenja zelo pomembno vlogo. Ker vsebuje mastne kisline, čisti odhajajoč trak, odstranjuje kositrove okside in ščiti talino kositra v peči pred atmosfero.

Kositer se struje pod tanko plastjo olja in ohrani svojo lepo belo barvo. Ob takih pogojih sicer nastopa tvorba lahnega oksidnega filma, ki pa je tako tenak, da ne vpliva na izgled površine bele pločevine.

Ce je temperatura olja previsoka, postane oksidacija močnejša in pločevina dobi viden rumenkast nadah. Od olja zahtevamo, da lepo odteka, kar je odvisno od njegove viskoznosti. Merilo za viskoznost olja je vsebovanje mastnih kislin, ki s staranjem olja na temperaturi narašča. Novo olje ima kislinsko število približno 2,5, optimalni delovni pogoji pa nastopajo, ko doseže kislinsko število 7 do 9. Proti koncu kampanje naraste kislinsko število na 12 do 25, kar je znak, da je treba del olja nadomestiti z novim (kislinsko število je poraba 0,1 n KOH v ml za neutralizacijo enega ml palmovega olja). Ce olje ne odteka pravilno s traku, napravi v sloju kositra žlebove kot hudovalnik v prod in pločevina dela velike težave na predelovalnih avtomatih in litografskih strojih. Danes delajo v ZDA poizkuse, da bi palmove olje nadomestili z lojem. Rusi pa uporabljajo tudi olje bombažnega semena.

Metalografija bele pločevine: Ce pogledamo prelez bele pločevine pod mikroskopom, lahko ugotovimo več plasti (shema sl. 4).



Slika 4

1. Oljna plast (deBELA 3×10^{-6} mm)
2. Kositrov oksid (debel 3×10^{-6} mm)
3. Cisti kositer (debel 3×10^{-3} mm)
4. Legirana plast (intermetalna plast, debela 3×10^{-4} mm)
5. Jeklena osnova (deBELA 3×10^{-1} mm)

Vsaka od navedenih plasti ima svoj vpliv na uporabnost bele pločevine za določene namene.

Ce je oljni film predebel ali neenakomerno razdeljen po plošči, nastopajo težave pri litografiji in verniranju bele pločevine. (Danes se 80% bele pločevine vernira in litografira).

Pred vstopom v tiskarski stroj gre plošča bele pločevine skozi peč za sežiganje maščob, in ce je teh preveč, ali ce so neenakomerno porazdeljene, ostanejo na plošči rjavi madeži, ki spremenijo osnovni ton barve in povzročajo slabo adhezijo, lak se zato lahko lušči.

Ce na plošči ni oljne plasti (elektrolitsko pločevino načrtujemo), jo avtomati slabo prijemajo in površina je monogo manj zaščitena proti razenju in poškodbam pri izdelavi.

Zelo tanka plast kositrovega oksida se tvori ob izhodu iz stroja za pokositrenje, zaradi difuzije kisika skozi oljno plast in se v dobi skladiščenja povečuje v odvisnosti od pogojev, katerim je izpostavljena bela pločevina (topel vlažen zrak). Premočen sloj oksida, podobno kot olje, slabo vpliva na adhezijo lakov in na proces spajkanja. Mnenja o zaščitnem delovanju oksidnega filma so deljena, vendar pa umetno dosežejo oksidne filme, ki zelo izboljšajo antikorozivne lastnosti konserve. Oksidne filme dobitjo s kemično oksidacijo ali z anodno obdelavo bele pločevine.

Plast čistega kositra je debeljsa od plasti kositrovega oksida. Navadno izražamo debelino kositrove prevleke v gr/m² ali v pounds/basis box. Prevleke se gibljejo med 22 in 35 gr/m², kar znaša približno 0,003 mm.

Težo prevleke navadno ugotavljamo kemično z raztopljanjem kositrove prevleke v HCl pod reducirskimi pogoji in s titriranjem z jodovo raztopino iz dvovalentne

1. Prima so plošče, ki nimajo napak, ki bi jih mogli opaziti s prostim očesom.

2. Sekunda ima napake v zmerni obliku in obsegu.

3. Tercia so plošče, ki imajo napake v takem obsegu, da se s ponovnim pokositrenjem lahko spremeni v primo ali sekundo.

4. Odpadek pa so plošče, ki jih ne moremo več spremeniti v primo ali sekundo.

Jesenška železarna je začela s proizvodnjo bele pločevine v letu 1959 in je v letu 1960 izdelala 968 ton tega produkta. V letu 1962 bo dosegla proizvodnjo 6000 ton in bo s tem lahko krila le zahteve po najbolj korozivno odporni beli pločevini za živilsko industrijo v Jugoslaviji. Zavedati se moramo, da se je jesenška železarna s tem spu-

stila v boj z inozemskimi konkurenenti, ki so do sedaj začeli naše tovarne embalaže s svojimi izdelki. Vsa naša proizvodnja bele pločevine je bila že porabljena za svoje namene in upamo, da bodo kmalu odstranjene zadnje težave in bodo kupci dobili toliko bele pločevine, kot si je želijo in bo le-ta zadovoljila mednarodne tehnične norme.

Literatura:

J. M. Camp and C. B. Francis: The making, shaping and treating of Steel. (United States Steel Comp. Pittsburgh 1951)

W. E. Hoare: The Technology of Tinplate Manufacture (Publication No 277)

A. I. Vitkin: Belaja Zest (Metalurgizdat Moskva 1951).

Ing. Janko Mede

DK 621.873

Osnutek tipizacije žerjavov v Železarni Jesenice

Težnje po cenejšem vzdrževanju žerjavov, z ozirom na perspektivno gradnjo Železarne Jesenice, kakor tudi v zvezi z zamenjavo starih žerjavov, nujno zahtevajo tipizacijo teh transportnih naprav. V Železarni Jesenice obratuje trenutno 114 žerjavov na električni pogon ter okoli 50 mačkov tipa »Demag« in žerjavov na ročni pogon. Od teh žerjavov je le malo med seboj enakih ali podobnih. Letnice izdelave teh žerjavov, kakor tudi firme, ki so jih izdelale, so zelo različne. Tako imamo v žičarni predelovalnih obratov 12 enakih žerjavov, izdelanih v »Metalni« v Mariboru z »Lama« mačkom iz leta 1953, v obratu visoka peč 3 enake žerjave »Simmering« iz leta 1937 in 1941, v livni lopi martinarne pa tudi 3 enake žerjave »Simmering« z letnico 1937. V valjarnah imamo le v obratu valjarne 2400 5 enakih žerjavov »Železarne Jesenice« z letnico 1949 in 1954. Sicer pa je le malo primerov še, da sta po dva enaka žerjava. To srečamo le še v žarilnici predelovalnih obratov, pri generatorjih na Javorniku in v profilni valjarni. Po letu 1945 je bilo izdelanih:

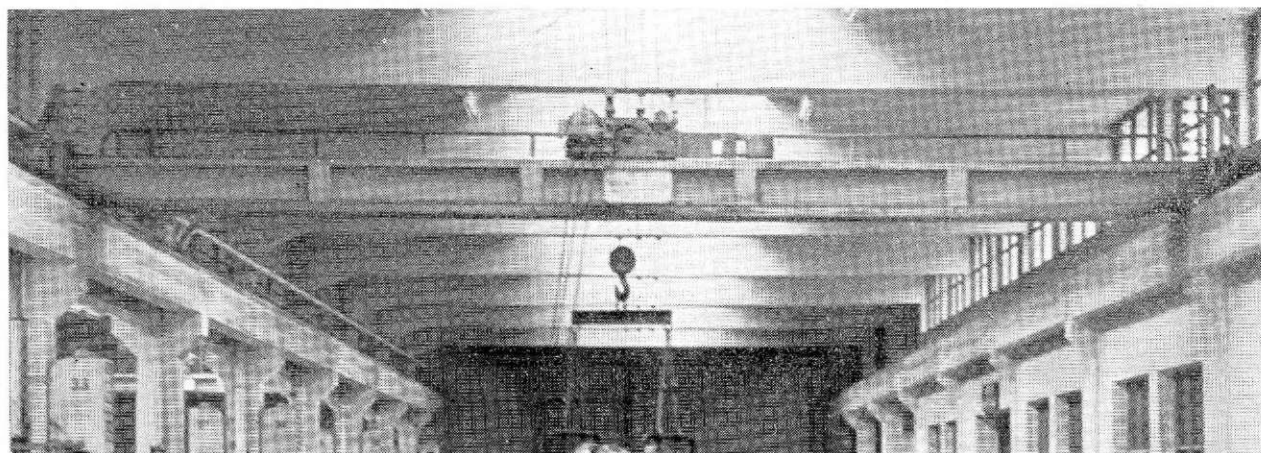
v topilnicah	14 žerjavov
v valjarnah	20 žerjavov
v predelovalnih obratih	23 žerjavov
v stroj. energ. obratu	3 žerjavi

Slika 1

Skupaj torej 60 »žerjavov na električni pogon, vendar je precej od teh adaptiranih iz reparacij. Po grobi presoji lahko zaključimo, da je več kot polovica žerjavov na električni pogon v železarni starejših od 15 let. Obratuje pa še precej žerjavov, ki imajo letnico izdelave okoli leta 1900. V perspektivnem načrtu Železarne Jesenice pa je predvideno v topilnicah 6, v valjarnah 7, v predelovalnih obratih 10 in v strojno energetskih obratih 8 novih žerjavov. Skupno torej 31 novih žerjavov. Tu seveda ni upoštevana zamenjava starih žerjavov iz prejšnje skupine, od katerih jih bo 20 treba nadomestiti z novimi.

Z drugimi besedami, do leta 1970 bo potrebno skupaj okoli 50 novih žerjavov na električni pogon, ne da bi upoštevali razne mačke tipa »Demag«, ki jih bomo morali nujno nabaviti zaradi mehanizacije in modernizacije proizvodnje.

Za tako število žerjavov je seveda nujno izvesti tipizacijo, zaradi manjših stroškov vzdrževanja, krajsih zastojev v proizvodnji, manjšega števila rezervnih delov in verjetno tudi manjših stroškov nabave. To nas je privedlo do tega, da smo izdelali predlog za tipizacijo žerjavov, ki ga naj bi upoštevala »Komisija za koordinacijo projektovanja« pri »Udruženju jugoslovenskih železar«, ki je v svojem dopisu z dne 25. novembra 1960 057/RP-306 že sama nakazala to potrebo.



Predlog za tipizacijo

V tipizirani vrsti bi bili zajeti naslednji žerjavi:

A. 3,2 tonski žerjavi v predelovalnih obratih, izdelek »Metalne« iz Maribora z mačkom »Lama«; teh že imamo 12, naročeni pa so še trije. Ti žerjavi bodo predstavljeni tipizirano vrsto za sebe, pri naročanju novih pa bi od »Metalne« zahtevali le tiste spremembe, ki jih je na teh žerjavih izvedel žerjavni oddelek.

B. Žerjavi z nosilnostjo do 6 t, ki so vodeni s tal z visečim stikalom in ki nimajo posebnih zahtev za obešanje bremena.

C. Žerjavi od 5 do 50 t s kabino na mostu ali mačku s posebnim ali brez posebnega obešanja bremena.

Za žerjave večje nosilnosti tipizacija ne bi bila nujna, zaradi majhnega števila teh žerjavov, ki opravljajo v želczarni običajno tudi specifično funkcijo, n. pr. livni žerjavi. Prav tako je brez pomena tipizacija žerjavov s specifičnimi funkcijami pod 50 t nosilnosti, ker so to v glavnem le enkratne izvedbe. Pri žerjavih z več dvižnimi hitrostmi, kakor tudi pri žerjavih z dvema ali več nosilnimi kavljami, pa bi vsakokor upoštevali vse elemente tipizacije žerjavov do 50 ton nosilnosti.

B. Tipizacija žerjavov do 6 ton, ki so vodeni z visečim stikalom

I. Maček

Tipizirani so mački tipa VEDA tovarne »Vulkan« iz Reke, in sicer 5 velikosti s pripadajočim voznim pogonom. Ti mački tečejo po spodnji pasnici profila I 24, ugrajevali pa se bodo tudi kot stabilni vitli.

Tipi VEDA mačkov

Oznaka »Vulkan«	Nosilnost
1. VEDA 2—0,5/4	0,5 t
2. VEDA 2—1/4	1 t
3. VEDA 2—2/4	2 t
4. VEDA 3—4,5/4	4,5 t
5. VEDA 3—6/4	6 t

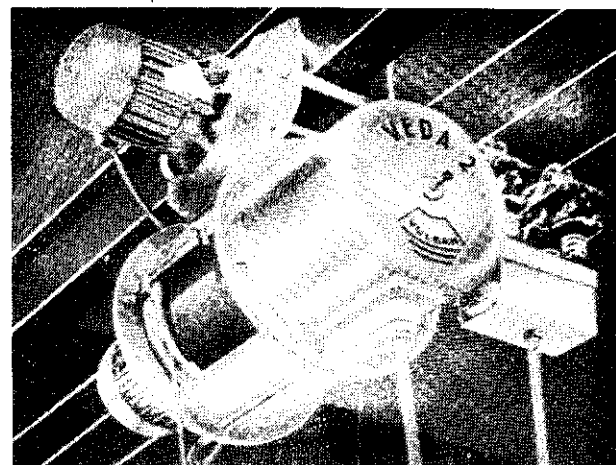
Vozna pogona za mačke

Oznaka »Vulkan«	Nosilnost
1. EMA — 3 — 6-K	3 t
2. EMA — 6 — 6-K	6 t

Odvzem toka z mostu bo izveden s kablom.

II. Žerjavni most

Hitrost vožnje bo samo 1, in sicer $v_2 = 63 \text{ m/min}$. Vsi ležaji voznega pogona naj bi bili kotalni. Vozni pogon bo izveden z elektromotorjem, sklopko, zavoro, reduktorjem, transmisijo gredjo in direktnim pogonom tekalnega kolesa z vodil-



Slika 2

nim vencem. Vsi navedeni deli se bodo izbrali iz tipizirane vrste za žerjave z nosilnostjo 5 do 50 t, uporabil pa se bo samo 1 tip končnega stikala, odjemalca toka in odbijača.

C. Žerjav nosilnosti 5 do 50 ton z ali brez posebne zahteve po obešanju bremena

I. Maček

1. Nosilnost: 5, 8, 12,5, 20, 32 in 50 t

2. Hitrost dviga:

- Montažna oziroma livna $v = 3,2 \text{ m/min}$ za nosilnosti 12,5, 20, 32 in 50 t
- $v = 8 \text{ m/min}$ za nosilnosti 32 in 50 t
- $v = 12,5 \text{ m/min}$ za nosilnosti 12,5 in 20 t
- $v = 20 \text{ m/min}$ za nosilnosti 5 in 8 t

3. Hitrost vožnje

- montažna oziroma livna $v = 25 \text{ m/min}$
- $v = 50 \text{ m/min}$

4. Višina dviga

- $h = 10 \text{ m}$
- $h = 20 \text{ m}$

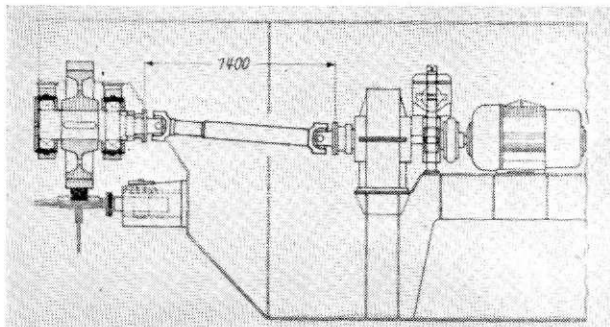
5. Obcenje bremena

- 4 kratno za nosilnosti 5 do 12,5 t
- 8 kratno za nosilnosti 20 do 50 t

6. Za dvižni pogon bodo tipizirane žične vrvi, škripčevniki, izravnalne koluti, vrvni bobni, verižna kolesa za prenos na mejno stikalo, mejna stikala (Železarna Jcsenice), elektromotorji (»Rade Končar«), reduktorji, sklopke z zavornimi koluti in zavore.

7. Poleg tega bodo konstrukcijsko tipizirani vsi pripadajoči ležaji. Vsi ležaji, tako v škripčevniku

kakor tudi v bobnu in reduktorju, bodo kotalni. Prav tako bi bilo treba konstrukcijsko tipizirati detajle mačka oziroma njegovega pogona, kot so n. pr. vijaki, tesilni obroči itd.



Slika 3

8. Za vozni pogon mačka bo tipizirano tekalno kolo, elektro-motor (»Rade Končar«), reduktor, sklopka z zavornim kolotom, zavora EM 200 (Litostroj), prenos iz reduktorja na tekalno kolo (kardanska gred), končno stikalo (»Rade Končar«) in odvzem toku za maček (verižni kabel).

9. Tudi pri mostnem vozнем pogonu naj bi se izvedla konstrukcijska tipizacija za detajle pogona, kot so kotalni ležaji, vijaki, tesnilni obroči itd.

10. Tirnice bodo, prav tako kakor tekalna kolesa, tipizirane skupno za vozni pogon mačka in za vozni pogon mostu. Izdelane bodo iz valjanega kvadratnega profila 60, 80 in 100.

11. Izvedba voznegog pogona se bo od običajne razlikovala v tem, da bo iz reduktorja neposreden prenos na os tekalnega kolesa, ki bi bila kotalno uležajčena. Vrtilni moment bo iz reduktorja na os tekalnega kolesa prenašala kardanska gred in bodo s tem odpadli dodatni ležaji in zadnja prestava na tekalno kolo.

Tekalno kolo bi bilo izdelano tako, da bi imelo nasajeno vodilni venec, ki bi se lahko po obrabi menjal (slika 3). Odvzem toku za maček bo izveden s pomočjo verižnega kabla, kar je enostavnejše in bolj varno kot s pomočjo odjemalca toka (slika 4).

II. Most

1. Tipizirane hitrosti vožnje mostu so naslednje: $v = 80, 100$ in 125 m/min v odvisnosti od nosilnosti in razpetine žerjava.

Hitrosti so bile, prav tako kakor pri mačku, izbrane nekoliko višje.

2. Razpetine ne bi bilo mogoče tipizirati na obstoječe žerjavne proge, medtem ko bi jih bilo možno tipizirati za nove hale ozir. žerjavne proge.

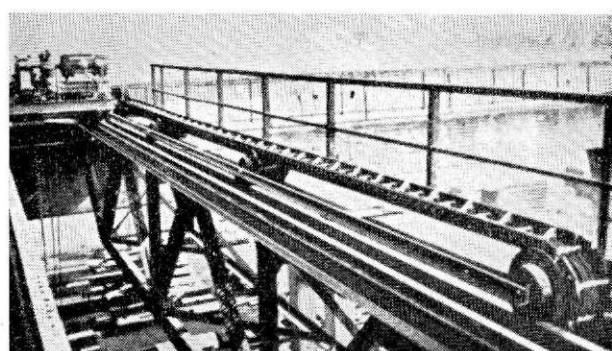
3. Jeklene konstrukcije mostu bodo imele tipizirano obliko z glavnimi nosilci škatlastega profila.

4. Tirnice žerjavne proge predstavljajo isto tipizirano vrsto kot pri tirnicah mačkove proge: 60, 80 in 100.

5. Za vozni pogon je izbrana tipizacija tekalnih koles, elektromotorjev (»Rade Končar«), reduktorjev, sklopk z zavornimi koluti, zavor, prenosov iz reduktorja na tekalna kolesa (kardanske gredi), odjemalcev toka (Železarna Jesenice) in končno za stikala (»Rade Končar«). Tipizacija tekalnih koles, kardanskih gredi, sklopk z zavornimi koluti, zavor in končnih stikal je rešena skupno s pogonom mačka. Isto velja tudi za elektromotorje in deloma za reduktorje.

6. Konstrukcijska tipizacija detajlov (ležajev, vijakov, itd.) se bo prav tako izvedla kompleksno za vso tipizirano vrsto žerjavov, torej skupno z upoštevanjem pogona za mačka.

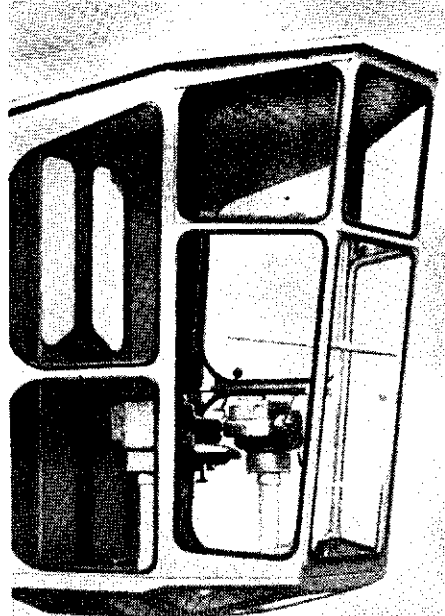
7. Most bo imel, kot že omenjeno, nosilce škatlastega profila, členi nosilce pa bo za vse nosilnosti na dveh tekalnih kolesih. Vsako tekalno kolo ima lasten pogon. Gnani sta dve ali štiri tekalna kolesa. S tem načinom pogona, z dvema ali štirimi elektromotorji, povezanimi z električno osjo, se občutno zmanjša število delov celotnega voznegog pogona žerjavnega mostu, kar je odločilnega pomena za vzdrževanje. Tekalno kolo ima nasajen neprofiliran venec, katerega je možno po obrabi menjati in torej ne vrši funkcije vodenja žerjava. To funkcijo prevzamejo posebni vodilni koluti, ki se kotalijo po tirci iz ploščatega železa na notranji strani nosilca žerjavne proge. Ta izvedba ima prednost glede porabe energije za vožnjo žerjava, kakor tudi glede obrabe profila vodilnega venca tekalnih koles in obrabe tirnice. Z opisano izvedbo bodo vse te negativne posledice — katerih vzrok so neravne žerjavne proge, ki se v praksi nujno pojavljajo — odpadle. Vrtenje se bo prav tako pri mačku prenašalo iz reduktorja preko kardanske gredi na os tekalnega kolesa, ki je uležajčena na kotalnih ležajih (slika 3).



Slika 4

Žerjavna kabina:

1. Izdelali se bodo štirje tipi žerjavnih kabin, in sicer dva tipa zaprtih in dva tipa odprtih kabin. En tip zaprtih kabin bo narejen za grobe obrate (n. pr. žerjavi na prostem, jeklarna, visoka peč). Drugi tip pa za obrate delavnškega značaja (predelovalni obrati, vzdrževalni obrati). Prvi težki tip zaprte kabine naj bi bil opremljen s klimatsko



Slika 5

napravo (na sliki 5 lahki tip zaprte kabine). Prav tako bi izdelali lahki in težki tip odprte kabine.

2. Žerjav bi se upravljal s pomočjo varovalnega krmiljenja. Ta način upravljanja je zelo enostaven in za žerjavovodja najbolj primeren.

Povzetek

V tem osnutku so obravnavani samo žerjavi z eno nosilnostjo (enim kavljem), ker so le-ti za nas najbolj prikladni. Prav tako ni upoštevana možnost dveh hitrosti

Ing. Jože Kramar

DK 621.365.2

Delovanje električne peči na tokovni lok

Električne peči na tokovni lok služijo v železarnah za pridobivanje kvalitetnega jekla iz starega železa, za pridobivanje surovega železa iz železovih rud, za prizvodnjo železnih legur in tudi za topljenje barvnih kovin. Zaradi velikih električnih moči, ki jih zahtevajo te peči, (tudi preko 20 MVA) je izbira režima delovanja zelo zahtevna. Iz segrevalnih procesov nam je poznano, da bo izguba toplotne tem manjša, kolikor hitreje bomo neko telo segreli. Pri skrajšanem segrevalnem času pa je potrebno dovajati večjo moč.

Nepravilno upravljan proces taljenja v električni peči povečuje specifično potrošnjo električne energije (kWh/t), podaljšuje čas trajanja taljenja in slabša delovanje energetskega sistema.

Prednosti električnih peči pred drugimi so predvsem v enostavnosti delovanja in v kvaliteti dobijenih produktov. Razen tega imajo pa še naslednje dobre strani:

a) Enostavno proizvodnjo toplote. Električna energija se dvaja v peč s pomočjo elektrod in se pretvori v toploto na mestu porabe.

Dvig za eno nosilnost z diferencialnim pogonom. Vse to spada v nadaljnjo obdelavo tipizacije žerjavov. Poleg tega bo potrebna še bolj detajlna obdelava jeklene konstrukcije. Tudi gabaritne ter kaveljne mere pri žerjavah niso obravnavane, ker bomo pri gradnji novih žerjavnih prog upoštevali tipizirane mere dobavitelja žerjavov. Pri novih žerjavah, na obstoječih žerjavnih progah, pa bomo glede teh mer vsekakor postavili, kolikor bodo potrebne, posebne zahteve.

Predlog tipizacije žerjavov v Železarni Jesenice je bil izdelan glede na trenutne možnosti domače industrije, z upoštevanjem izkušev želzarne in na osnovi podatkov inozemske in domače literature. Naše zahteve se v nekaterih elementih ne bodo ujemale s tipizacijo v podjetjih kot na primer v »Litostroju« in »Metalni« v Mariboru. Največja razlika je v principu voznega pogona, vendar upamo, da bomo tudi v tem primeru lahko našli, tako proizvajalcem kakor potrošniki, skupno rešitev. Predpostavljamo, da ne bi bil problem, da se konstrukcijsko obdela pri enem izmed prej navedenih podjetij tipizacija žerjavov za Železarno Jesenice. V tem primeru bi bil to, z manjšimi spremembami, tudi del njihove tipizirane vrste žerjavov, če bi to podjetje v 10 letih izdelalo za nas okoli 50 žerjavov.

Ker se prav zdaj začenja tudi delo pri jugoslovenskih standardih za žerjave, je bil to tudi naš prvi predlog komisiji za izdelavo standarda. S tem v zvezi bi bilo prav gotovo potrebljeno tesno sodelovanje med proizvajalcem in potrošniki teh transportnih naprav.

Železarna Jesenice je že v letu 1960 naročila 6 žerjavov, ki bodo tipizirani. Zato je nemogoče čakati na delo komisije za standardizacijo žerjavov, ki bo trajalo več let. Omenjeni sporazum med producentom in potrošnikom je nujno potreben, obenem pa tudi že lahko predstavlja osnutek predloga za standardizacijo na tem področju.

Viri podatkov: Litostroj – Ljubljana, Metalna – Maribor, Vulkan – Reka, Rade Končar – Zagreb, Siemens – Schuckert, Demag, Kabelschlepp Malmedie, Železarna Jesenice.

Literatura: Stahl im Hochbau, Winden und Krane, Die Hebezeuge, Stahl und Eisen, Fördern und Heben.

b) Dovod energije se lahko regulira, tako da dosežemo poljubno temperaturo taline v poljubnem času.

c) S tokovnim lokom se ne dovajajo v talino nobene tveje snovi, ki bi ji škodovale pri kemični reakciji.

d) Električne peči se zelo dobro prilagajo metalurškim zahtevam in napravam.

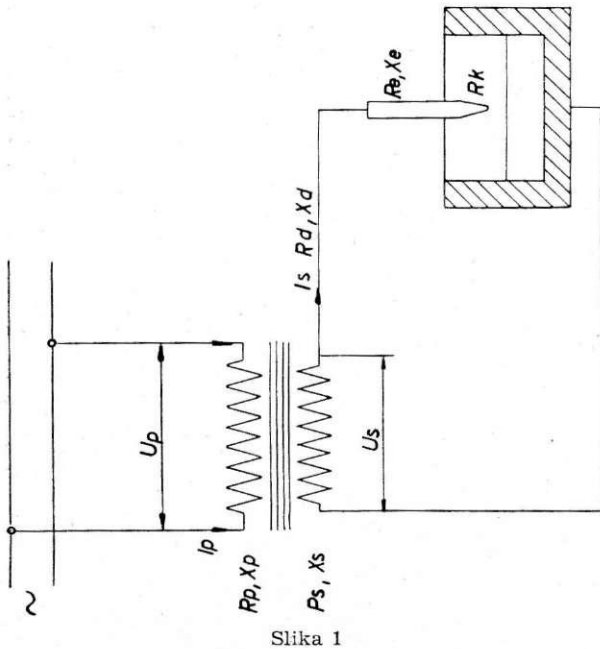
Za ugotavljanje pravilnega delovanja električne peči na tokovni lok moramo poznati obratovalne karakteristike celotne naprave, tako z elektrotehničnega kot z metalurškega gledišča. Vse skupaj pa moramo gledati tudi z gospodarskega stališča.

Pričujoči članek ima namen opisati proces v električni peči na tokovni lok z elektrotehnično-gospodarskega stališča. Možno pa je dobiti tudi zaključke za pravilno metalurško upravljanje električne peči.

Elektrotehnika uporablja za ugotavljanje obnašanja neke električne naprave nadomestne vezave električnih tokokrogov. Običajno nastopajo v teh tokokrogih naslednji elementi: upornost, induktiv-

nost, kapacitivnost, odvodnost, pritisnjena in inducirana napetost, padec napetosti ter tok. Reševanje nadomestnih električnih vezav pa nam običajno ne dela nikakih težav.

Nadomestno vezavo električne peči na tokovni lok vzamemo po sliki 1, ki nam predstavlja enofazno peč. Običajno električne peči napajamo s trofaznim tokom, kar naj nas pa ne moti pri ugotavljanju delovanja.



Slika 1

Iz slike 2 so razvidne bistvene upornosti, ki nastopajo v tokokrogu električne peči. Pomen oznak je naslednji:

R_p — ohmska upornost primarnega navitja transformatorja

R_s — ohmska upornost sekundarnega navitja transformatorja

R_d — ohmska upornost dovoda in odvoda

R_e — ohmska upornost elektrode

R_k — ohmska upornost tokovega loka

X_p — induktivna upornost primarnega navitja transformatorja

X_s — induktivna upornost sekundarnega navitja transformatorja

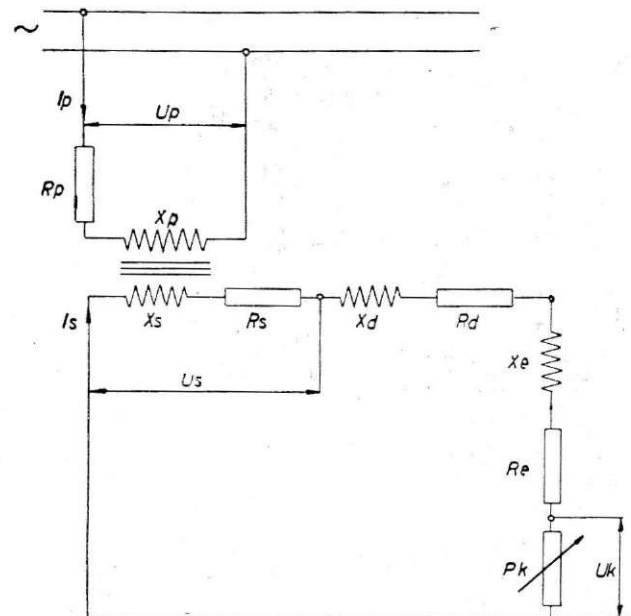
X_d — induktivna upornost dovoda

X_e — induktivna upornost elektrode

Ohmske upornosti R_p , R_s , R_d in R_e so za proces taljenja nekoristne in jih označujemo z R_n . Na njih se spreminja del dovedene električne energije v nekoristno toploto.

Upornost tokovnega loka R_k se spreminja z razdaljo elektrod od taline v peči in je edina koristna upornost v tokokrogu. Tu se spreminja pretežni del električne energije v talilno toploto.

Induktivne upornosti X so spremlevalke izmeničnega toka. Na njih se ne troši delovna, ampak



Slika 2

jalova energija, ki se spreminja v elektromagnetska polja. Jalova energija niha od izvora k potrošniku in obratno ter po nepotrebnem dodatno obremenjuje dovode in transformator.

Ohmske in induktivne upornosti, razen upornosti R_k so odvisne od snovnih in geometrijskih razmer posameznih elementov vezave in so za neko napravo ter za določeno napetost nespremenljive, torej neodvisne od obremenitve (toka).

Vse upornosti pa se ne nahajajo v tokokrogu z isto napetostjo, del jih je na primarni, del pa na sekundarni strani transformatorja. Transformator smo pa vstavili v tokokrog zato, ker tokovni lok potrebuje za gorenje le nizko napetost U_k , (do 250 V, odvisno od velikosti peči). Zaradi manjših prenosnih izgub pri višji napetosti (manjši tok) pa je ugodnejša za dovod visoka napetost.

Nadomestno vezavo za električno peč skupno s transformatorjem želimo čim bolj poenostaviti, zato preračunamo vse upornosti na dogovorjeno napetost. Običajno vzamemo primarno napetost U_p , ki je ugodna zaradi tega, ker imamo tam nameščene vse merilne instrumente, ta napetost bi bila pa lahko poljubna.

Razmerje med primarno in sekundarno napetostjo pri transformatorju imenujemo prestavo transformatorja:

$$p = \frac{U_p}{U_s} \quad 1)$$

Pogoj za reduciranje neke upornosti od ene napetosti na drugo je, da se na upornosti troši enaka moč. To pa dobimo po naslednjih izvajanjih:

$$\frac{U_s^2}{R} = \frac{U_p^2}{R'} \quad 2 \text{ a)} \qquad \frac{U_s^2}{X} = \frac{U_p^2}{X'} \quad 2 \text{ b)}$$

$$R' = \left(\frac{U_p}{U_s}\right)^2 \cdot R = p^2 \cdot R$$

$$X' = \left(\frac{U_p}{U_s}\right)^2 \cdot X = p^2 \cdot X$$

Upornosti prenesemo na drugo napetost tako, da jih pomnožimo s kvadratom prestave transformatorja.

Upornosti nadomestne vezave tokokroga električne peči, reduciranih na primarno napetost U_p sta po sliki 2.:

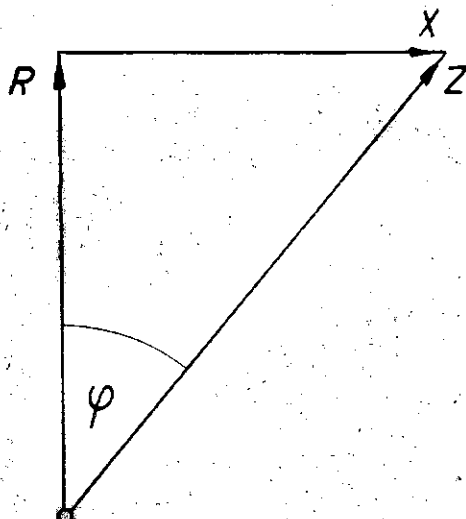
$$R = R_p + p^2 (R_s + R_d + R_e + R_k) \quad 4\text{ a)}$$

$$X = X_p + p^2 (X_s + X_d + X_e) \quad 4\text{ b)}$$

Nadomestno upornost, ki jo nudita upornost R in X primarni napetosti U_p , označujemo z:

$$Z = \sqrt{R^2 + X^2} \quad 5)$$

To je navidezna upornost, katero sestava je razvidna iz vektorskega diagrama slike 3, kot tudi iz naslednjih razmerij:



Slika 3

$$\cos\varphi = \frac{R}{Z} \quad 6)$$

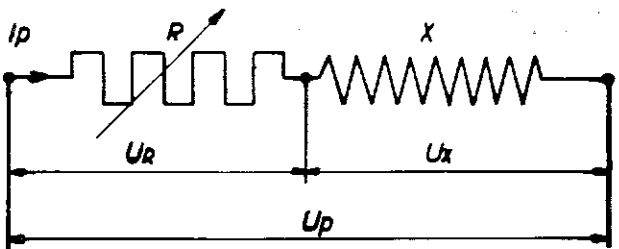
$$\sin\varphi = \frac{X}{Z} \quad 7)$$

Primarna napetost U_p bo pognala skozi nadomestno navidezno upornost Z tok:

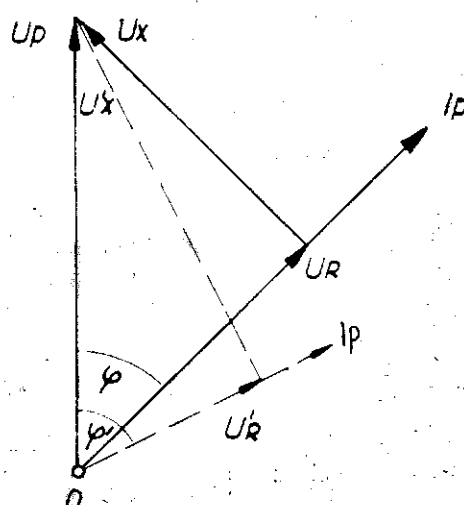
$$I_p = \frac{U_p}{Z} = \frac{U_p}{\sqrt{R^2 + X^2}} \quad 8)$$

Tok, ki teče skozi ohmsko in induktivno upornost povzroča ohmski in induktivni padec napetosti. Ta dva pa držita ravnotežje primarni napetosti U_p (sliki 4 in 5).

3 a)



Slika 4



Slika 5

Sledi, da je: $U_p^2 = I_p^2 R^2 + I_p^2 X^2 = U_R^2 + U_x^2 \quad 9)$

Ohmski in induktivni padec napetosti se sešteva geometrično pod pravim kotom.

Izraza 6) in 7) je možno po sliki 5 pisati še v naslednji obliki:

$$\cos\varphi = \frac{U_R}{U_p} \quad 6\text{ a)}$$

$$\sin\varphi = \frac{U_x}{U_p} \quad 7\text{ a)}$$

Tudi izraz za tok 8) je možno pisati s pomočjo enačb 6) in 7) v naslednji obliki:

$$I_p = \frac{U_p}{Z} \cdot \frac{R}{R} = \frac{U_p}{R} \cos\varphi \quad 10)$$

$$I_p = \frac{U_p}{Z} \cdot \frac{X}{X} = \frac{U_p}{X} \sin\varphi \quad 11)$$

Uvesti moramo še nekatere poenostavitve v nadomestno vezavo tokokroga cl. peči, ki ga predstavlja le še ohmska in induktivna upornost. Primarna napetost U_p naj se ne spreminja. Pri tej je tudi induktivna upornost X nespremenljiva. Ohmska upornost pa se sestoji iz koristne spremenljive upornosti tokovnega loka R_k in stalnih nekoristnih ohmskih upornosti, ki smo jih označili z R_n . Nekoristne ohmske upornosti R_n so proti spremenljivi ohmski upornosti R_k majhne, zato jih bomo v prvem primeru obravnavate tokokroga zanemarili.

Tokovni lok povzročimo v peči na ta način, da z elektrodo staknemo tokokrog na kratko. Če predpostavljamo, da smo vse nespremenljive ohmske upornosti zanemarili, odpade v kratkem stiku tudi R_k . V tokokrogu imamo le induktivno upornost X . Na to vpliva primarna napetost U_p . Po enačbi 11) sledi tok:

$$I_p = I_k = \frac{U_p}{X} \quad (12)$$

Imenujemo ga kratkostični tok I_k . Po enačbi 7 a) je $\sin \varphi = 1$ in $\varphi = 90^\circ$. Tok I_k zaostaja za napetostjo U_p za 90° in je zavisen le od induktivne upornosti X . Tok je lahko zelo velik, če je induktivna upornost X majhna.

Prevelikega kratkostičnega toka I_k ne smemo dopuščati, ker bi preveč neugodno obremenjeval energetski sistem, dovod in transformator. Povzročal bi velike padce napetosti v omrežju.

Električne peči obratujejo v času topljenja zelo nemirno, s pogostimi kratkimi stiki. To zelo neugodno vpliva na šibkejše omrežje. V električni tokokrog vključujemo v času taljenja zaporedno s transformatorjem dušilko, ki s svojo induktivno upornostjo pomaga omejevati kratkostični tok. Ko se tokovni lok umiri, dušilko premostimo, ker nam slabša fazni faktor $\cos \varphi$.

V nadalnjem obratovanju pride lahko do tega, da elektrodo toliko oddaljimo od taline, da tokovni lok ugasne. Upornost R_k naraste na neskončno vrednost. Tok I_p ne more teči.

Zanimiv primer za ocenjevanje električnih peči je še tedaj, ko je ohmska upornost R enaka induktivni upornosti X .

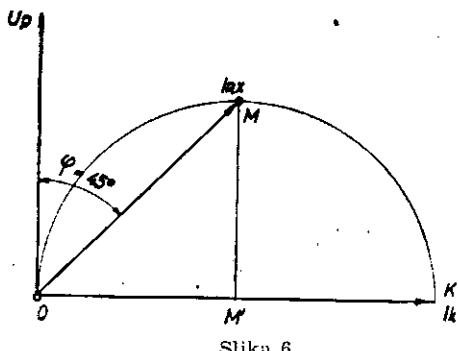
($R = X$). Enačbi 10) in 11) imata tedaj naslednjo obliko:

$$I_p = I_{Rx} = \frac{U_p}{\sqrt{2} \cdot R} \quad (13)$$

$$I_p = I_{Rx} = \frac{U_p}{\sqrt{2} \cdot X} \quad (14)$$

Tok I_{Rx} v tem slučaju zaostaja za napetostjo U_p za $\cos \varphi = \frac{1}{\sqrt{2}} = 0.707$ ali za kot $\varphi = 45^\circ$.

Vse tri ugotovitve lahko vnesemo v kazalčni diagram slike 6.



Slika 6

Tudi za druga razmerja spremenljive ohmske in stalne induktivne upornosti bi lahko določili toke. Ugotovili bi, da ležijo kazalci tokov na obodu kroga, ki ima za premer tok kratkega stika J_k .

Kazalčni diagram na sliki 6 imenujemo diagram električne peči na tokovni lck. Z njim so določeni toki, ki nastopajo v tokokrogu električne peči.

Krožni diagram je torej kazalčni diagram, kjer pomeni krog geometrijsko mesto kazalcev toka za razna razmerja ohmske in induktivne upornosti v tokokrogu električne peči.

MOČ ELEKTRIČNE PEČI

Električna peč na tokovni lck prejema iz omrežja delovno moč:

$$P = U_p \cdot I_p \cdot \cos \varphi \quad (15)$$

Z upoštevanjem enačb 10) 11) dobimo naslednja izraza

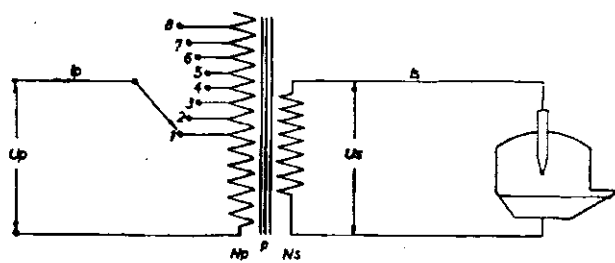
$$P = U_p \frac{U_p}{R} \cos \varphi \cdot \cos \varphi = \frac{U_p^2}{R} \cdot \cos^2 \varphi \quad (16)$$

$$P = U_p \frac{U_p}{X} \sin \varphi \cdot \cos \varphi = \frac{U_p^2}{2X} \cdot \sin 2\varphi \quad (17)$$

$$2 \sin \varphi \cdot \cos \varphi = \sin 2\varphi \quad (17a)$$

Sedaj vidimo, da je delovna moč v električni peči odvisna od kvadrata primarne napetosti in od kvadrata $\cos \varphi$.

Primarno napetost U_p smo dobili zato, ker smo vse upornosti reducirali na to napetost. Napetosti U_p pa ne moremo spremenjati, ker je odvisna od omrežja. Spreminjam lahko le sekundarno napetost U_s na ta način, da konstantno primarno napetost U_p (omrežno) priklopimo na večje ali manjše število primarnih ovojev transformatorja. Napetost reguliramo v obremenjenem stanju, zato je laže preklapljati manjši primarni tok I_p kot pa velik sekundarni tok I_s .



Slika 7

Enačbo 1) lahko pišemo še v naslednji obliki:

$$\frac{U_p}{U_s} = \frac{N_p}{N_s} = \frac{I_s}{I_p} \quad (18)$$

$$U_s = \frac{U_p \cdot N_s}{N_p} = \frac{U_p}{\frac{N_p}{N_s}} \quad (19)$$

Iz enačbe 19) in slike 7 sledi, da se spreminja prestava p transformatorja in s tem sekundarna napetost transformatorja U_s .

Višjo sekundarno napetost U_s potrebuje peč v času taljenja, zato priklopimo primarno napetost U_p na manjše število primarnih navojev N_p . S tem dosežemo večjo moč v peči. Ko je železo raztaljeno (rafinacija), potrebujemo v peči manjšo moč, ki jo dobimo z manjšo sekundarno napetostjo U_s . Vkloniti moramo več primarnih ovojev N_p na transformatorju.

Običajno so transformatorji grajeni tako, da imajo več regulacijskih stopenj (8 in več). Sekundarne napetosti so običajno do 250 V, odvisno od velikosti peči. Sekundarni toki I_s pa znašajo glede na velikost naprav tudi preko 50.000 A.

Na moč električne peči vpliva tudi fazni faktor $\cos\varphi$. Ta naj bo čim boljši. Nanj vplivamo s pravilno dolžino tokovnega loka v peči oziroma s pravilnim razmerjem ohmske in induktivne upornosti električnega tokokroga.

Največja delovna moč, ki jo lahko električna peč prejme iz omrežja, je določena s pogoji enačbe 17), če jo odvajamo po kotu φ ter odvod izenačimo z O.

$$\frac{dP}{d\varphi} = \frac{U_p^2}{2X} = 2 \cos 2\varphi = 0 \quad 20)$$

Člen $\frac{U_p^2}{X}$ ima določeno vrednost. Zato je lahko vrednost 0, če je

$$\cos 2\varphi = 0 \quad 21)$$

$$2\varphi = 90^\circ \quad 21\text{ a})$$

$$\varphi = 45^\circ \quad 21\text{ b})$$

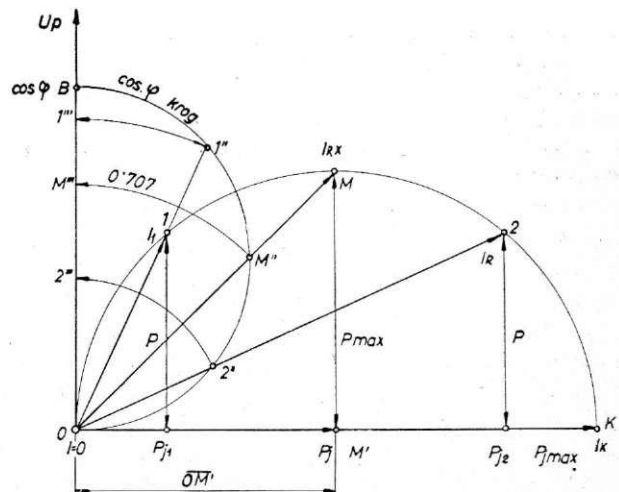
$$\text{in } P_{\max} = \frac{U_p^2}{2X} \quad 22)$$

Največjo delovno moč prejme električna peč tedaj, ko nastopa fazna razlika med tokom I_p in napetostjo U_p , $\cos\varphi = 0.707$, $\varphi = 45^\circ$. Iz prejšnjih izjavanj sledi, da je to takrat, ko je ohmska upornost enaka induktivni upornosti ($R = X$). Tedaj je tudi delovna moč, ki jo prejema peč, enaka jalovi moči.

$$P_j = U_p \cdot I_p \cdot \sin\varphi \quad 23)$$

Krožni diagram sl. 6 narišemo za primer v sl. 8 z vsemi dosedanjimi ugotovitvami.

Gospodarno obratovanje električne peči je v območju OM'. Razdalja MM' je sorazmerna največji moči P_{\max} , ki jo lahko vzame električna peč iz omrežja pri neki sekundarni napetosti U_s . Tok pri maksimalni moči je I_{RX} . $\cos\varphi = 0.707$, $\varphi = 45^\circ$. Iz krožnega diagrama sl. 8 je razvidno, da je vsakokratna ordinata za določeno točko na krogu v sorazmernu z odvzeto močjo iz omrežja. Razvidno je tudi, da nima nobenega smisla obratovati s kotom φ , večjim od 45° . Za večji tok I_2 dobimo manjšo moč P iz omrežja. To moč pa dobimo tudi pri manjšem toku I_1 . Pri obratovanju s tokom I_2 se pojavljajo



Slika 8

v omrežju večji padci napetosti, večje izgube moči, slabši $\cos\varphi$ oziroma večje dobave jalove moči.

Velikost jalove moči P_{st} lahko razberemo na absisu za vsakokratno obratno stanje.

$\cos\varphi$ za vsakokratni obratni tok določimo tako, da okoli ordinate narišemo polkrog s premerom 100 mm, sečišče kroga pa z obratnim tokom zavrtimo nazaj do ordinate, kjer razberemo vrednost $\cos\varphi$.

Električne obločne peči obratujejo zelo nemirno, posebno v začetku. Težko je doseči idealne obratne pogoje, ker prihaja do pogostih kratkih stikov, to je v obratne točke preko območja OM', ki niso zaželene, zaradi navedenih slabih strani. Stremeti moramo za idealnimi obratnimi pogoji in tokovni lok regulirati tako, da ne prehajamo trajno preko gospodarne meje obratovanja.

Iz enačbe 12) sledi, da bo premer kroga krožnega diagrama tem večji, čim večja bo napetost. Z regulacijo napetosti dosežemo lahko različne toke in moči v peči. V enačbi nastopa tudi induktivna upornost X , ki pa je pri določeni napravi ne moremo spremenjati. Če pravilno delamo, vedno obratujemo s kotom φ , manjšim od 45° , $\cos\varphi > 0.707$.

Krožni diagram, ki ga imamo dejansko pri električni peči, je nekoliko drugačen. Ta upošteva upornosti, ki smo jih v začetku zanemarili, zaradi jasnosti fizičalne slike delovanja električne peči. V nadaljevanju bomo upoštevali še te.

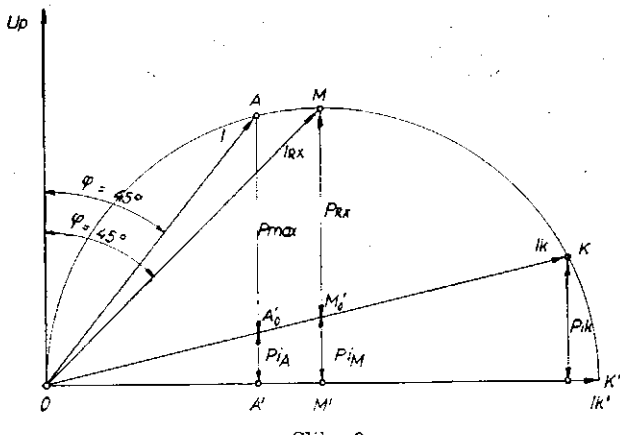
Zanemarili smo upornosti R_p , R_s , R_d in R_e , ki smo jih skupno označili z nekoristnimi upornostmi R_n . Praviloma moramo reducirati te upornosti na primarno napetost, ker opazujemo peč s strani te napetosti.

$$R_n = R_p + p^2 (R_s + R_d + R_e) \quad 24)$$

Zaradi prisotnosti teh nekoristnih ohmskih upornosti v tokokrogu električne peči tok v kratkem stiku I_k ne bo zaostajal več 90° za napetostjo U_p , ampak nekaj manj ($75-85^\circ$). Zaradi teh upornosti imamo že v tokokrogu izgube delovne moči

P_i . Moč, ki jo daje omrežje, se deli na koristno moč P_k in na izgubljeno moč P_i . Izgubljena moč P_i bo tem večja, čim večji tok bo tekel v tokokrogu električne peči. Ob kratkem stiku, ko je $R_k = 0$, ostane le še nekoristna upornost R_n . Vsa dovedena moč se troši na njej.

Iz krežnega diagrama slike 8 je razvidno, da je razdalja od obratne točke pravokotno na absciso sorazmerna prejeti moči iz omrežja. To tudi uporabimo v diagramu slike 9 s to razliko, da je vektor toka kratkega stika I_k razmejitev med izgubljeno močjo P_i in koristno močjo P_k . Krožni diagram slike 9 nam kaže, da največja moč, ki jo lahko prejme peč iz omrežja, ne da več največje kerstne moči ($\varphi = 45^\circ$). Pri največji moči imamo večje izgube v nekoristnih upornostih. Največja koristna moč $P_{k\max}$ nastopa pri nekem kotu φ , ki je manjši od 45° . Grafično jo dobimo tako, da polegnemo tangentu na krog paralelno s tokom kratkega stika I_k . Dotikališče A je najugodnejša obratovalna točka.



Slika 9

Matematični dokaz za maksimalno koristno moč v električni peči $P_{k\max}$ pri upoštevanju vseh nastopajočih upornosti izhaja iz enačbe:

$$P_k = P - P_i = P - I^2 R_n \quad 25)$$

Z upoštevanjem enačbe 9) ter slike 5 dobimo:

$$I_p \cdot R = \sqrt{U_p^2 - I_p^2 X^2} \quad 26)$$

$$P_k = I \sqrt{U_p^2 - I_p^2 X^2} - I^2 R_n \quad 27)$$

Maksimalno koristno upornost v peči dobimo z odvajanjem izraza 27) po toku in izenačenjem odvoda z O.

$$\frac{dP_k}{dI_p} = \frac{I_p}{2} + \frac{(-2 I_p X^2)}{\sqrt{U_p^2 - I_p^2 X^2}} \quad 28)$$

$$+ \sqrt{U_p^2 - I_p^2 X^2} - 2 I_p R_n = 0$$

$$R_k = \sqrt{R_n^2 + X^2} \quad 29)$$

Maksimalna koristna moč ob tem pogoju je:

$$P_{k\max} = I_p^2 \cdot R_k = \frac{U_p^2}{2(\sqrt{R_n^2 + X^2} + R_n)} \quad 30)$$

Izkoristek peči je razmerje med koristno uporabljeno in dovedeno energijo:

$$\eta = \frac{P_k}{P} = \frac{I^2 R_k}{I^2 R_k + I^2 R_n} = \frac{1}{1 + \frac{R_n}{R_k}} \quad 31)$$

Izkoristek peči pri maksimalni koristni moči $P_{k\max}$:

$$\eta_{k\max} = \frac{P_{k\max}}{P} = \frac{\sqrt{R_n^2 + X^2}}{\sqrt{R_n^2 + X^2} + R_n} \quad 32)$$

$\cos\varphi$:

$$\cos\varphi = \frac{R}{Z} = \frac{R}{\sqrt{R^2 + X^2}} \quad 33)$$

$\cos\varphi$ ob maksimalni koristni moči $P_{k\max}$:

$$\cos\varphi_{k\max} = \frac{R}{\sqrt{R^2 + X^2}} = \sqrt{1 + \frac{R_n}{\sqrt{R_n^2 + X^2}}} \cdot \frac{1}{\sqrt{2}} \quad 34)$$

Idealni kratkostični tok — premer kroga krožnega diagrama:

$$I_k' = \frac{U_p}{X} \quad 35)$$

Realni kratkostični tok:

$$I_k = \frac{U_p}{\sqrt{R_n^2 + X^2}} \quad 36)$$

KONSTRUKCIJA POPOLNEGA KROŽNEGA DIAGRAMA ELEKTRIČNE PEČI

Za konstruiranje popolnega krožnega diagrama električne peči nam morajo biti poznane ohmske in induktivne upornosti v tokokrogu ter primarna in sekundarna napetost.

Upornosti reduciramо na primarno napetost po enačbah 4 a) in 4 b).

Napetost U_p narišemo kot ordinato koordinatnega sistema. Kot absciso narišemo tok idealnega kratkega stika I_k' , ki ga dobimo po enačbi 35). Tok I_k' razpolovimo in razpolovišče M' uporabimo kot središče kroga, ki ima za premer tok I_k' .

Realni kratkostični tok I_k dobimo po enačbi 36). To je največji tok, ki nastopa v tokokrogu ob kratkem stiku in dani sekundarni napetosti.

Razumljivo je, da moramo risati vse toke in kasnejče moči v odgovarjajočem merilu. Prav tako je treba opozoriti, da so vsi toki in upornosti reducirane na primarno napetost in jih moramo za realno ocenjevanje prenesti z upoštevanjem prestave p^2 .

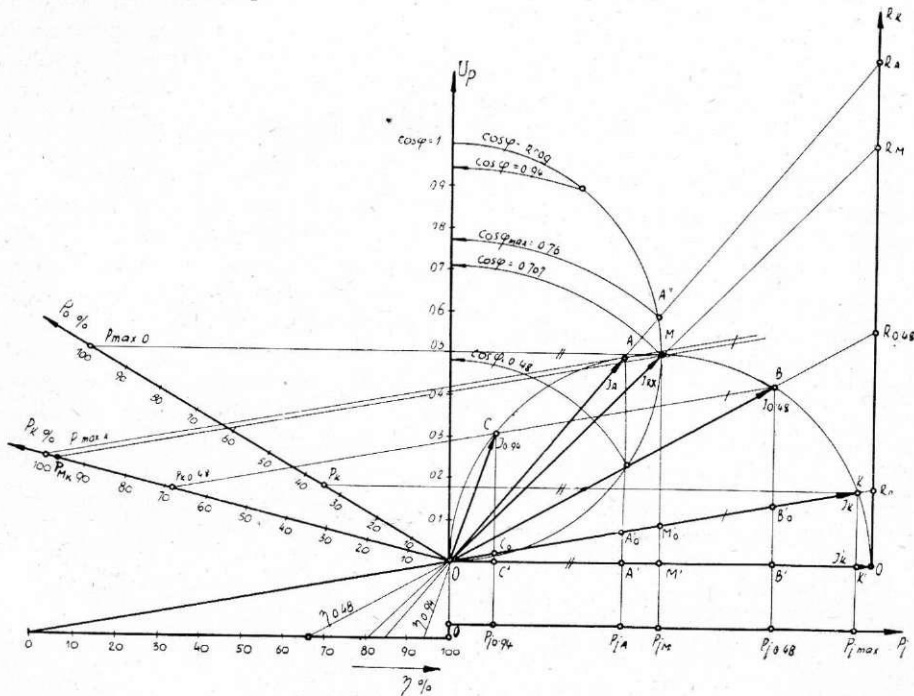
Pri obstoječih električnih pečeh običajne upornosti niso zname in jih je tudi težko določiti. Poreklo za določevanje krožnega diagrama je pri tem naslednji. Določiti moramo vsaj 3 toke, od katerih mora biti eden realni kratkostični tok I_k . Za vse 3 toke morajo biti zname sekundarne napetosti U_s , cosφ ter primarna napetost U_p . Vse zahtevane vrednosti je možno meriti z električnimi merilnimi instrumenti. Središče kroga krožnega diagrama dobimo na ta način, da narišemo 3 toke s pripadajočimi koti φ. Konice po dveh in dveh sosednjih tokov zvezemo ter zveznice razpolovimo s pravokotnicami, te pa podaljšamo do sečišča M'. Iz sečišča M' narišemo krog, ki zajame vse konice tokovnih kazalcev. S pravokotnimi projekcijami tokov na premico skozi M' določimo kazalec idealnega kratkostičnega toka. Realni tok kratkega stika I_k pa smo izmerili. S tem imamo pripravljen krožni diagram za nadaljnjo obravnavo električne peči.

Da ne obremenimo risbe krožnega diagrama preveč z oznakami, lahko narišemo premico iz točke O pod poljubnim kotom v levo stran P_o , ki jo imenujemo premico delovne moči iz omrežja. Na premici odmerimo dolžino 100 mm od točke O in jo zvezemo s točko M, za katero vemo, da je točka maksimalne moči iz omrežja. To nam pomeni v relativni vrednosti 100 odstotno moč iz omrežja. V točki O je delovna moč iz omrežja enaka O.

Za druge obratovalne točke krožnega diagrama določimo delovno moč, ki jo prejema peč iz omrežja tako, da iz delovne točke vlečemo paralelno premico k zveznici M — 100 odstotkov P_o in na premici odčitamo P_o , ki jo daje električno omrežje.

Določanje koristne delovne moči in izgubljene moči:

V prejšnjih izvajanjih smo ugotovili, da se vsa moč, ki jo daje omrežje, ne pretvarja v koristno



Slika 10

Določanje cosφ:

Cosφ posameznih obratovalnih točk oziroma tokov določamo s pomočjo cosφ kroga. Okoli ordinate (napetosti) narišemo krog s premerom 100 mm ter ga razdelimo na 10 delov in označimo od O do 1.

Cosφ posamezne obratne točke določimo tako, da točko sečišča cosφ kroga s tistem tokom zaslužemo nazaj do skale cosφ, kjer odčitamo njegovo vrednost.

Določanje delovne moči, ki jo prejema električna peč iz omrežja

Električna peč prejema iz omrežja delovno moč, ki je sorazmerna ordinatni razdalji od obratovalne točke na krogu do abscise — (n. pr. MM' AA' itd.).

toplotno. Nekaj se je troši na nekoristnih upornostih in je za talilni proces izgubljena. V kratkem stiku nastopajo le nekoristne upornosti, zato se dej troši vsa moč na teh upornostih. Realni kratkostični tok I_k s svojim kazalcem je meja za delitev moči, ki jo daje omrežje na koristno delovno moč P_k in na izgubljeno moč P_i .

Maksimalno koristno moč $P_{k \max}$ dobimo tako, da potegnemo tangento na krog krožnega diagrama paralelno z realnim tokom kratkega stika I_k . Dotikališče tangente A je točka maksimalne koristne moči v električni peči.

Tudi za določanje drugih koristnih moči za razne obratovalne točke krožnega diagrama lahko narišemo poljubno premico iz O ter jo v razdalji 100 milimetrov zvezemo s točko A, ki pomeni točko

maksimalne krištne moči v peči. Za druge obratovalne točke določimo koristno moč s paralelno premico k zveznici $A - 100$ odstotkov P_k in na premici P_k odčitamo vrednost koristne moči v peči.

Določanje jalove moči za električno peč:

S pravokotnico iz obratovalne točke na idealni tok kratkega stika imamo že določeno sorazmerno velikost jalove moči, ki jo daje omrežje. 100 odstotno jalovo moč dobimo ob idealnem kratkem stiku v električni peči, kar pa ni možno doseči. Kot je bilo že povedano, ni gospodarno obratovati z maksimalno koristno močjo $P_{k\max}$. Tu je jalova energija sorazmerna daljici OA'.

Določanje koristne upornosti v električni peči:

Pravokotnica skozi točko realnega kratkega stika K na tok idealnega kratkega stika I_k' je merilna premica za upornost R v električnem tokokrogu. Ob kratkem stiku s tokom I_k vemo, da nastopajo le nekoristne upornosti R_n . Iz točke K navzgor pa dobimo vsakekratne upornosti tokovega loka na ta način, da toke pedaljšamo do premice upornosti in tu odčitamo vrednost upornosti R_k tokovega loka.

Pri tem moramo pripomniti, da so te upornosti reducirane na primarno napetost ter jih moramo na sekundarno napetost prenašati s p^2 .

Določanje izkoristka električne peči:

Izkoristek neke naprave je razmerje med koristno uporabljeno močjo in dovajano močjo. Ob kratkem stiku vemo, da nimamo nobene koristne moči, ampak samo dovajano moč. Izkoristek η bo O. S kolikor manjšim tokom v krožnem diagramu delamo, tem bolj izkoristek raste. Krištna moč je sorazmerno večja kot pa izgubljena moč.

Točko O izkoristka nanesemo v podaljšku toka kratkega stika za 100 mm levo od ordinate ter jo razdelimo na 100 delov. Če podaljšamo kazalce toka posameznih obratnih točk do premice izkoristka, določimo tu izkoristke dovedene moči za posamezne obratne točke.

V krožnem diagramu so vnesene tudi vrednosti za neko električno peč na tokovni lok, ki dela s

$\cos\varphi = 0,48$. Isto moč bi dobili lahko pri veliko manjšem toku in $\cos\varphi = 0,94$ s sorazmerno boljšim izkoristkom delovne moči in manjši jalovi moči. Možno bi bilo tudi povečati moč v peči, kar bi ugodno vplivalo na čas trajanja procesa.

Krožni diagram električne peči ob spremenjeni napetosti U:

Slika 11 nam prikazuje krožne diagrame pri različnih napetostih n. pr. slika 7. Po enačbi 35) je premer kroga krožnega diagrama odvisen od napetosti in induktivne upornosti. Razvidno je, da se tok kratkega stika I_k linearno veča, prav tako tudi tok pri maksimalni moči in maksimalna moč. Razvidno je, da se $\cos\varphi$ z gospodarno mejo obratovanja ne spreminja. Z merilnim instrumentom $\cos\varphi$ je torej vedno možno kontrolirati odstopanje od idealnih obratnih pogojev taljenja v električni peči. Žal nobena električna peč, kolikor mi je znano, nima nameščenega tega instrumenta, s pomočjo katerega bi lahko bistveno vplivali na proizvodnjo v električnih pečeh in dosegli izboljšanje energetske situacije.

Trofazne električne peči na tokovni lok:

Električne peči na tokovni lok smo obravnavali v enofazni izvedbi. Pri trofaznem električnem toku imamo 3 enakopravne faze, ki dovajajo električni tok elektrodam. Dobili smo pa novo možnost za regulacijo napetosti s tem, da lahko primarno navitje preklopimo v zvezdo ali trikot. V trikotni vezavi primarne strani se poveča sekundarna napetost U_f za $\sqrt{3}$ ali 73 odstotkov proti vezavi v zvezdu. Če upoštevamo še regulacijo stopnje, imamo še enkrat več obratovalnih možnosti.

Medfazna napetost U in fazna napetost U_f sta v naslednjem medsebojnem razmerju:

$$U = \sqrt{3} U_f \quad 37)$$

$$U_f = \frac{U}{\sqrt{3}} \quad 38)$$

Delovno moč trifaznega potrošnika dobimo po enačbi:

$$P = \sqrt{3} \cdot U_f \cdot I_f \cdot \cos\varphi \quad 39)$$

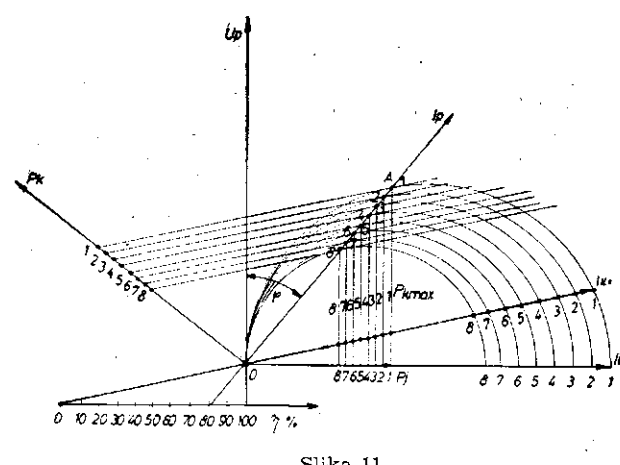
Enačba za maksimalno trifazno moč, ki jo omrežje daje električni peči (iz enačbe 22) je:

$$P_{\max} = \frac{3 U_f^2}{2 X} = 3 \cdot \left(\frac{U_p}{\sqrt{3}} \right)^2 \cdot \frac{1}{2 X} = \frac{U^2}{2 X} \quad 40)$$

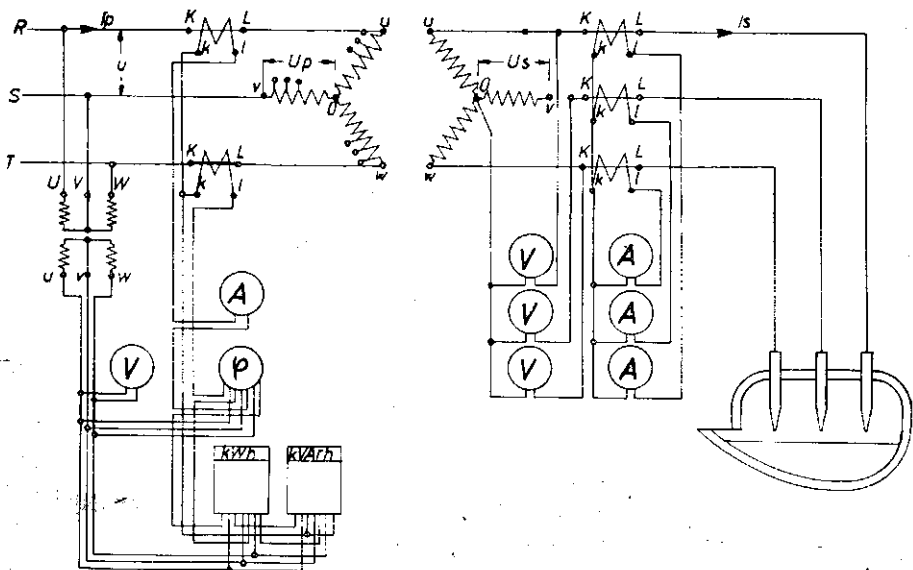
U pomeni tu medfazno primarno napetost.

Maksimalno trifazno koristno moč v električni peči pa dobimo po enačbi (iz enačbe 30):

$$P_{k\max} = \frac{3 \cdot U_p^2}{2(\sqrt{R_n^2 + X^2} + R_t)} = \frac{U^2}{2(\sqrt{R_n^2 + X^2} + R_t)} \quad 41)$$



Slika 11



Slika 12

Krožni diagram opisuje toke v eni fazi, kar popolnoma zadostuje tudi za opazovanje trofazne peči. Namesto enofazne moči upoštevamo trofazno moč v nekem drugem merilu.

Slika 12 kaže trofazno električno peč z vsemi električnimi merilnimi napravami, ki so potrebne za ocenjevanje delovanja električne peči.

Zaključek:

Članek opisuje obratovalne razmere v električni obločni peči z energetsko - gospodarskega gledišča s

poudarkom na izboljšanju obratovanja in povečanju proizvodnje.

Zanimiv bi bil še članek, ki bi opisoval električno peč z metalurške strani, kar pa pričakujemo od kakšnega drugega avtorja.

Literatura:

Dr. ing. D. Matanovič »Elektrotehniški vestnik 7/8 — 1953.

AEG — predloga za električne obločne peči

Siemens — Halske — predloga za električne obločne peči.

Ing. Janko Zaletel

DK 666.9

Apnenec in njegova uporaba v metalurgiji

I. KAMENINE

Kamenine so geološko samostojni deli zemeljske skorje in se med seboj razlikujejo po nastanku, sestavi in so neodvisne od drugih geoloških tvorb, s katerimi skupno nastopajo. Po mineralni sestavi, strukturi in obliki pojavljanja so genetsko vezane na razne geološke fenomene, kot so to vulkanski izbruhi, metamorfoze, medsebojne kemične reakcije v vodnih raztopinah in mehansko razpadanje z usedanjem v površinskih delih lito-, hidro- in atmo-sfere.

II. GENEZA

Apnenec je sedimentna kamenina, ki lahko nastane zaradi najrazličnejših pogojev: s kristalizacijo iz vodnih raztopin z usedanjem pri ugodnih pogojih temperature in koncentracije kemijskih komponent, ali pa z usedanjem bentonskih in planktonskih organizmov, katerih apnenci deli so po odprtju prešli v sestav apnencev. Od karbonatov sodelujejo pri gradnji močnih sedimentov kalcit v apnencih in dolomit. Apnenci kot čisti kemijski sedimenti niso močno razširjeni v primerjavi z apnenci organogenega, to je zoogenega ali fitogenega izvora.

S sedimentacijo zdrobljenega mineralnega in kamenega materiala, kakor tudi s sedimentacijo soli iz vodnih raztopin še niso zaključeni procesi nastajanja sedimentnih kamenin. V usedlem materialu se vrše še naprej, brez sprememb pritiska in temperature, procesi strjevanja, povezovanja oziroma cementacije sipiških komponent, razraščanja enih kristalov na račun drugih, procesi metasomatskih kemičnih reakcij itd. Te procese si lahko predstavljamo kot nekako metamorfozo kamenine, ki se dogaja na površini litosfere ali pa takoj pod njo.

III. PETROGRAFSKI OPIS

Najbolj razširjeni so apnenci zoogenega izvora. Predstavljajo jih homogeni čisti apnenci, ki so sestavljeni v največji meri iz malih zrn kalcita in iz celih ali delnih skeletov najrazličnejših organizmov. Od bentonskih organizmov običajno nastopajo fosilizirani ostanki koral, Brachiopodov, Bryozoi, Echinodermatov itd.; od planktonskih organizmov pa ostanki Foraminifer, Pteropodov itd., Apnence, ki vsebujejo posebno veliko količino fosilnih ostankov, navadno poimenujemo po tisti vrsti ali rodu ostankov, katerih je največ. Taka imena apnencev so: koralni, amonitski, krinoidni, litotamijski (slika 1), alveolinski, foraminiferni itd. Navadno ni najti sledov organ-

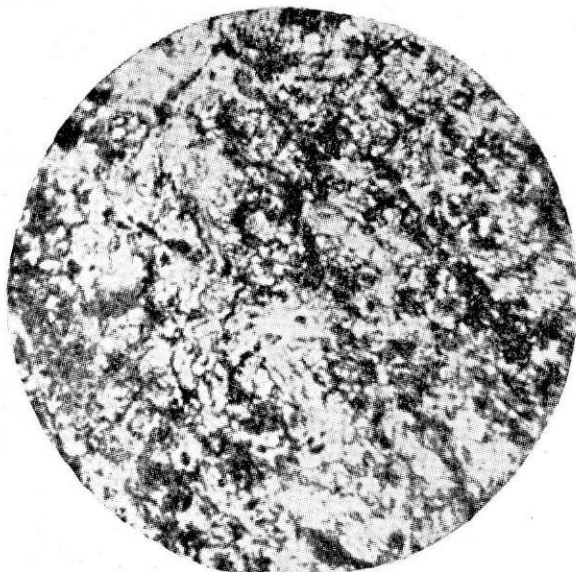
skih ostankov v apnencih, v posameznih primerih pa vendar naletimo na ostanke školjk, ki so skoraj v celoti ohranljene.



Slika 1
Povečava 74X.

Geološko mlajšim apnencem pripadajo apnenci fitogenega izvora, katerih glavni zastopnik je litotamijski apnenec, ki je nastal v miocenu. To je plitvoobalni sediment, ki ga sestavljajo skeleti alge *Lithothamnium ramossissimum* in foramanifer raznih rodov.

Struktura apnencev je makro- ali mikro- kristalna in se odlikuje z nepravilno nazobljenimi zrni kalcita (slika 2)



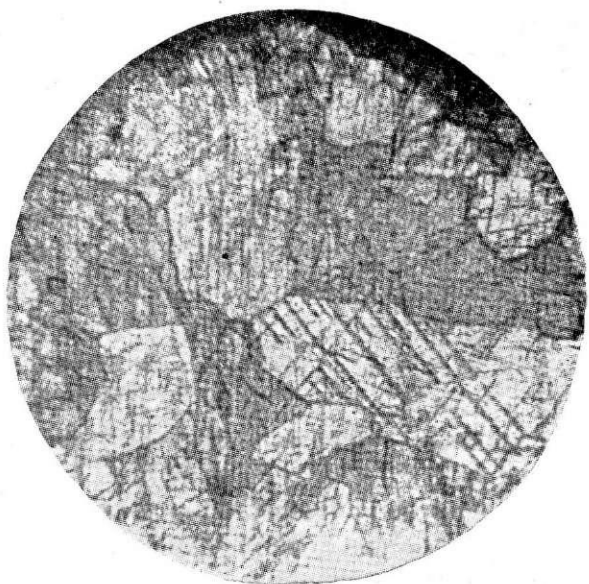
Slika 2
Povečava 75X. Nikoli +.

ali pa je amorfna. Tekstura je navadno slojevita, včasih homogena v slojih po več metrov. Poznamo pa tudi apnence, ki nastopajo v tankih slojih oziroma ploščah, to so tenkoploščati apnenci.

Pri anorganskem nastanku apnencev tvori glavni mehanizem ogljikova kislina. V petrografskej pogledu poznamo še kamenino, ki nastaja lahko neposredno s kristalizacijo iz vodnih raztopin, kakor tudi s prekristalizacijo iz apnenca v prisotnosti magnezijevih soli – dolomit. Znan je po svojem poligonalnem krojenju oziroma lomu (slika 3 in 4). Apnenec, pri katerem je mikroskopsko mogoče ugotoviti v strukturi romboedrična zrna dolomita, je že pretrpel zamenjavo kalcita z dolomitom v stopnji dolomitizacije in ga petrografsko označujemo kot dolomitizi-



Slika 3



Slika 4
Povečava 140X. Nikoli +.

rani apnenec. Makroskopsko je posamezne vrste: apnenec, dolomitiziran apnenec in dolomit težje ločiti med seboj. V primeru predpisanih zahtev o vsebovanju poedinih komponent v kamenini so barva, trdota, krojitev, kakor tudi burnost reakcije s HCl nezanesljivi in preveč subjektivni znaki. Različni avtorji postavljajo glede na procentualno količino $MgCO_3$ v kameninah naslednje meje:

Kamenina	Novinski % MgCO ₃	Tamarinov % MgCO ₃	Carozzi % MgCO ₃
apnenec	0– 5	0– 8	0–10
dolomitizirani apnenec	5–50	8–48	10–50
dolomit	> 50	> 48	> 50

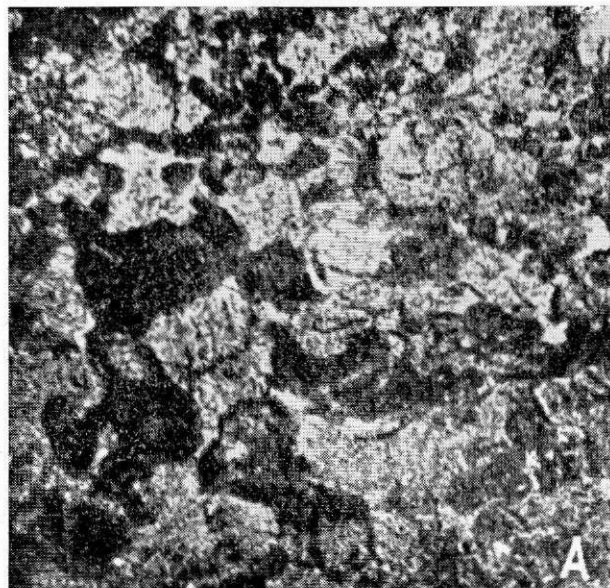
Komponenta MgCO₃ lahko nastopa v apnencu kot vezivo med CaCO₃ kristali. Pri dolomitiziranem apnenu pa predstavlja vezivo med dolomitnimi kristali komponenta CaCO₃.

Po barvi so apnenci lahko bele, sive, rumenkastosive, rdečkastorjave in celo skoraj črne barve. Način obarvanja je v glavnem odvisen od vrste in količine primesi. Od primesi nastopajo zrnca kremena, glinencev, muskovita, limonita, ogljikovodikov s svojstvi nafte ali asfalta idr. Pri kre-

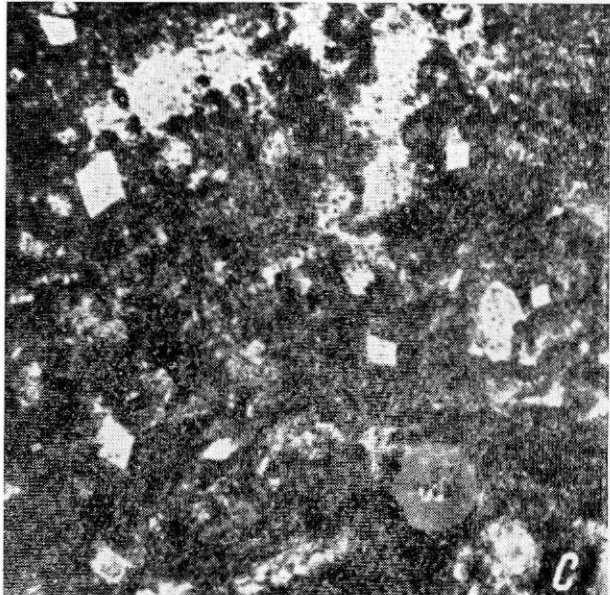
menčastih apnencih so zrnca kremena enakomerno porazdeljena med zrni kalcita. Količina SiO₂ prekorači včasih tudi 20 %. Limonit opazujemo največkrat v obliki gnezd in žilic. Bituminozni apnenci vsebujejo manjše količine infiltriranih ogljikovodikov; zanje je značilen vonj, če udarjamo po njih s kladivom.

Trdnost apnencov zavisi od trdnosti mineralnih komponent in stopnje njih povezave oziroma gostote ter se giblje v zelo širokih mejah od 100 do 2800 kg/cm², kar predstavlja mejne trdnosti. Prostorninska teža apnencov se giblje od 1,9 do 2,7 kg/dm³. Trdota po Mohsu je 3 do 5.

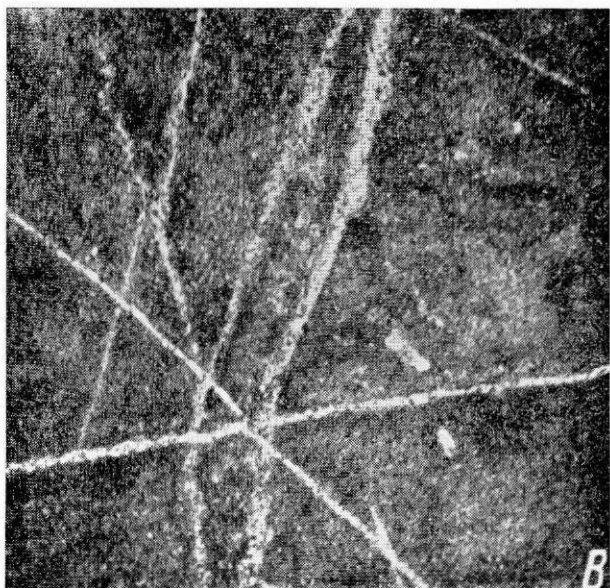
Med ugodna svojstva apnencov prištevamo mikrokristalno strukturo, kompaktnost in čist prelom, normalno trdoto in trdnost, zvonek glas pri udarjanju s kladivom ter majhno vpojnost vode. Za neugodna svojstva pa smatramo amorfno strukturo, moten, zemljast prelom, nizko trdoto, pri nahukanju duh po glini in prisotnost bituminoznosti in sulfidnih primesi. Pri poroznih apnencih znaša poroznost



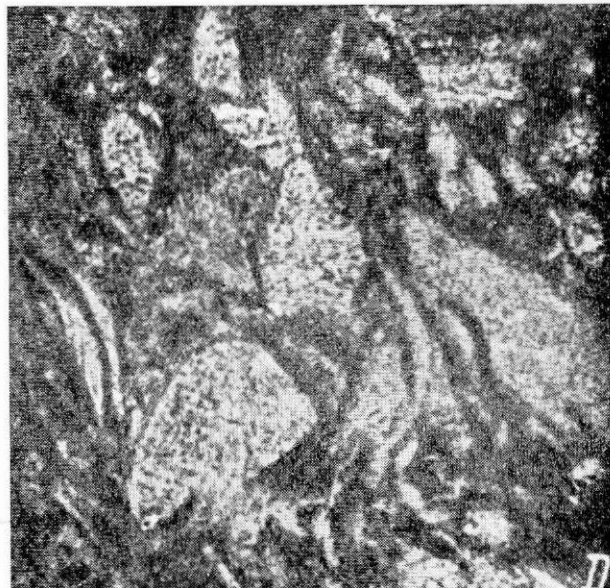
Slika 5



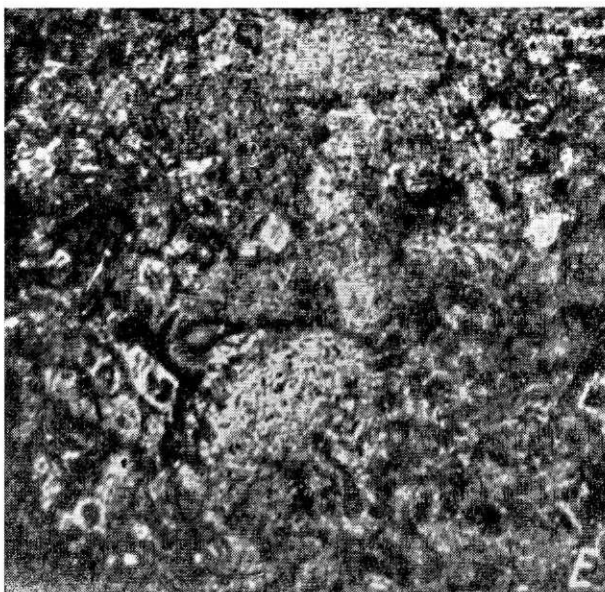
Slika 7



Slika 6



Slika 8



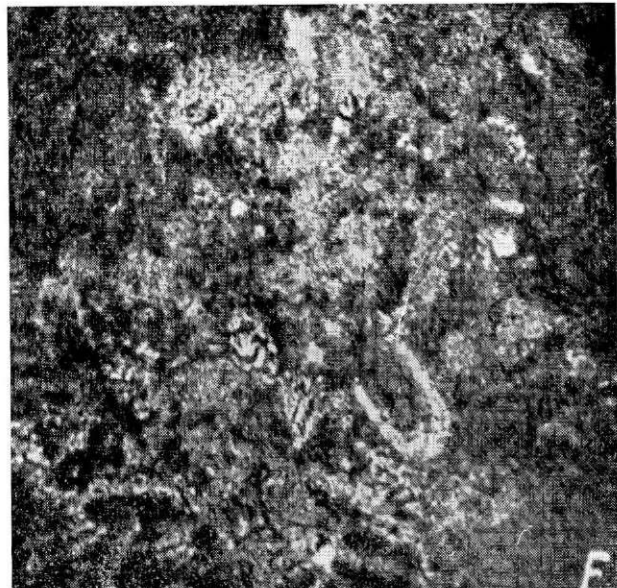
Slika 9

približno 5 %, pri kompaktnejšin pa 1 % prostornine kosa. Pri takih poroznih apnencih moramo paziti na to, da so obstojni proti zmrzovanju.

Apnenci iz raznih nahajališč, ki se ne razlikujejo po svojih fizikalnih in kemičnih lastnostih, se lahko razlikujejo po svoji mikrostrukturi. V slikah 5, 6, 7, 8, 9, 10 je videti 6 mikrostruktur apnencev, katerih analiza in opis sta razvidna iz razpredelnice:

slika	Sestava v %					Opombe – opis
	CaO	MgO	SiO ₂	R ₂ O ₃	CO ₂	
5	53,66	1,45	0,64	0,44	43,71	belega, sladkornega izgleda, rekristalizirani kalcit
6	53,70	0,65	1,72	0,64	42,86	drobnokristalna struktura, preprežena z žilicami kalcita
7	53,25	1,45	0,68	0,70	43,38	svetlosiv, drobnozrnat apnenec z romboedrskimi kristalčki dolomita
8	54,15	0,94	0,32	0,38	43,54	rjavkast apnenec, z visoko vsebnostjo bituminoznih snovi
9	51,65	2,64	1,14	0,92	43,43	svetlosiv, srednjezrnat apnenec z mnogovrstnimi vključki dolomita
10	55,0	0,47	0,32	0,34	43,69	beli, srednjezrnat apnenec

Struktura teh apnencev se menja od finozrnatega na sliki 6 do debelozrnatega na sliki 8. Po barvi so zastopani: čistobelci in temnosivi. Apnenec na sliki 8 je rdečerjave barve. Rekristalizirani kalcit je videti pri večini apnencev v obliki žilic, ki prepletajo na primer vzorec na sliki 6, ki se praktično ves sestoji iz rekristaliziranega kalcita ali v obliki nepravilnih gnezd pri vzorcu na sliki 7. Pravilna romboedrska zrna dolomita je videti na vzorcih slike 7 in slike 9. Od drugih primesi je opazovati še kremen, limonit in dr.



Slika 10

IV. PRIDOBIVANJE APNENCA

Apnenec kot močno razširjeno kamenino pridobivamo v največji meri s površinskim kopi. Površinsko pridobivanje se izplača, če so apnenci debeloslojeviti, tektonsko neporušeni in je njih pad položen. Ne izplača pa se kopati tankoslojevite oziroma tankoploščate apnence, kadar imajo plasti velik naklonski kot, tektonsko porušene in po kemitru močno spreminjačo apnence. Posebno neugodni so pogoji tedaj, če ni mogoče ugotoviti pri nastopajoči tektoniki nikake zakonitosti, ki naj bi koristila dobr organizacija pripravljalnih in pridobivalnih del.

Odvisno od količine apnencev, ki ga želimo pridobiti, od stopnje mehanizacije pridobivalnih del in transporta, ter v skladu s terenskimi in geološkimi prilikami, si izbiramo najprimernejši način odkopavanja. Za pridobivalna dela, pri katerih želimo masovno pridobivati apnenec, in se pri tem poslužujemo še razstreljevanja, uporabljamo naslednje odkopne metode:

1. odkopavanje v etažah
 - a) način nizkih etaž
 - b) način visokih etaž
2. odkopavanje v lijkah
3. čelno frontalno odkopavanje

Ekonomsko in iz varnostnih ozirov utemeljeno je odkopavanje v etažah pri ustrezajoči organizaciji pripravljalnih, pridobivalnih in odvažalnih del. Pri nizkih etažah je višina etaže urejena glede na lastnosti apnencev, geološke in terenske prilike. Razstreljujemo na več načinov. Premeri vrtin so do 40 mm. Običajno se uporablja kotelsko razstreljevanje. Tak način odkopavanja dale le omejene količine materiala. Mehanizacija nakladanja ni polno izkorisčena ali pa potrebujemo večjo in daljšo manipulacijo oz. večje premike. Za kompaktne apnence je najugodnejše odkopavanje z visoko etažo in globokimi vrtinami. Vrtine se vrtajo do premera 300 mm in globine 30 do 40 m ali več, s posebnimi strojnimi napravami. Najekonomičnejša višina etaže znaša približno 35 m. Naklon stene in vrtin znaša okoli 75 stopinj in črta najmanjšega odpora 3,5 do 3,7 m. Pri visokih etažah lahko pridobivamo kamenine s komornim odstreljevanjem, vendar morajo biti zato dani ugodni geološki in terenski pogoji.

Odkopavanje v lijkah uporabljamo za dobivanje kamna, ki služi v industrijske namene, kjer ni postavljenih meja glede kvalitete in je vsako separiranje oziroma ločenje kamna od jalovine na delovih nemogoče in nepotrebno. Geološke in terenske prilike morajo biti za to do-

metodo odkopavanja ustrezajoče. Razstreljevanje izvajamo v steni s pomočjo stopnic oziroma polic.

Celno frontalno odkopavanje izvajamo v eni etažni višini s pomočjo prej omenjenih načinov, ali pa z razstreljevanjem v obliki stebrov.

V. SPLOŠNA UPORABA APNENCA

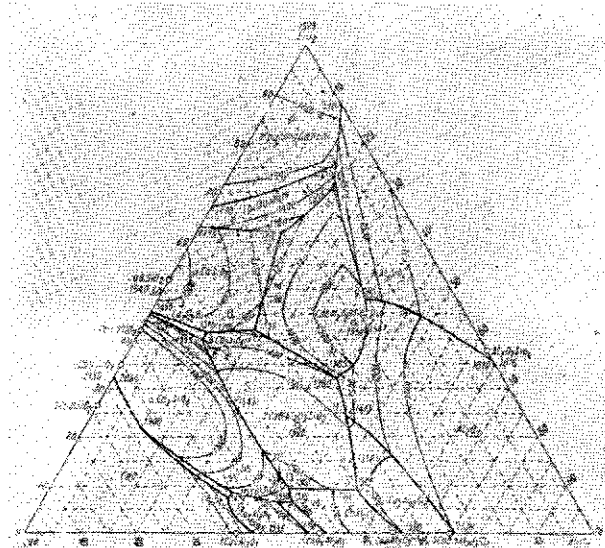
Uporaba apnenca pri nas še ni tako razširjena v industriji in njenih izdelkih kot v bolj razvitih državah. V največji meri služi apnenc za proizvodnjo žganega apna, ki ga uporablja gradbena industrija. Sledi ji poraba apna v industrijske namene: v kemični industriji (proizvodnja karbida, belilnega prahu, umetnih gnojil, kleja, škrupilnih sredstev, čiščenja odpadnih vod), v tekstilni industriji (čiščenje volne in tekštila), v industriji staklorja, v industriji kož, v poljedelstvu (apnenje kislih zemljišč), v živinoreji (močna krmlja) idr. Zelo čist in zmlet apnenc uporablja steklska industrija kot dodatek k raztopljeni silikatni masi, industrija papirja, plastičnih mas in gume, dalje pri izdelavi linoleja, tiskarskega črnila, polirnih praškov, v kozmetičnih in farmacevtskih preparatih, v rudarstvu, za posipanje premoga in delovišč, v metanskih jamah in za prašne zavese. Manj čist apnenc se uporablja kot tolčenec pri gradnji cest, kot gramoz za posipanje cest, v blokih raznih dimenzij pa kot okrasni gradbeni material.

A. UPORABA APNENCA

V METALURŠKIH PROCESIH

1. Apnenc kot priklada v visoki peči

Z vsipom prihaja v visoko peč železna ruda z jalovino, kokš in priklade. V jalovini in pepelu iz koksa nastopata poleg ostalih komponent, glavni komponenti kislega karbonita SiO_2 in Al_2O_3 , ki prihajata tako v proces in ki se odlikujeta po svoji visoki temperaturi taljenja. Z dodajanjem baze ustvarjamo možnost nastajanja hizko taljivih silikatov in aluminatov, ki so osnovne sestavine metalurških žlinder. Sestavo žlindre uravnavamo z dodajanjem baze tako, da dobimo pri nižji temperaturi tiste reaktivske pogoje za vodenje procesa, kakrsne želimo. Temu namenu služi tudi Rankinov diagram (slika 11). S tem diagramom je mogoče hitro reševati vprašanja, kako vplivajo posamezni kemični spoji komponenti SiO_2 – Al_2O_3 – CaO



Slika 11

na njih temperaturo taljenja. V naših pogojih je potrebno upoštevati mesto komponente CaO , vsoko $\text{CaO} + \text{MgO}$.

Kot baza prihaja v poštev najcenejši in neizčrpni vir – apnenc. V te namene uporabljamo lahko še dolomitizirani apnenc ali celo dolomit.

Naravni apnenc ni nikdar čist in vsebuje vedno večji ali manjši percent primeši (Fe_2O_3 , MgCO_3 , SiO_2 , Al_2O_3 idr.). Naši apnenci so več ali manj dolomitni in vsebujejo večji percent MgCO_3 (3%). Fe_2O_3 je v apnencu celo dobrodošel. V visokih pečeh MgO ne moti hoda peči, v gotovih koncentracijah vpliva celo ugodno na tekočnost žlinder, v tem na njeno aktivnost (slika 12). Tako prikazuje diagram Mac-Caferyja, kako se zmanjšuje viskoznost žlinder, v katerih nastopa različno razmerje komponent $\text{SiO}_2 : \text{Al}_2\text{O}_3$ (od 1 do 8) pri temperaturi 1500 stopinj Celzija in spremenjanju komponente MgO od 0 do 20% pri različnih vsebnostih CaO . Značilno v teh diagramih je, kako se širi območje koncentracije CaO od 40 do 50% pri 0%, MgO od 22 do 58%, CaO pri 20% MgO . Praktično že 10% MgO jamči, da ne dobimo več gostih žlinder, posebno sa, če je koncentracija komponente Al_2O_3 velika. (Najmanjša viskoznost kaže krivulja, pri kateri je razmerje $\text{SiO}_2 : \text{Al}_2\text{O}_3 = 1$).

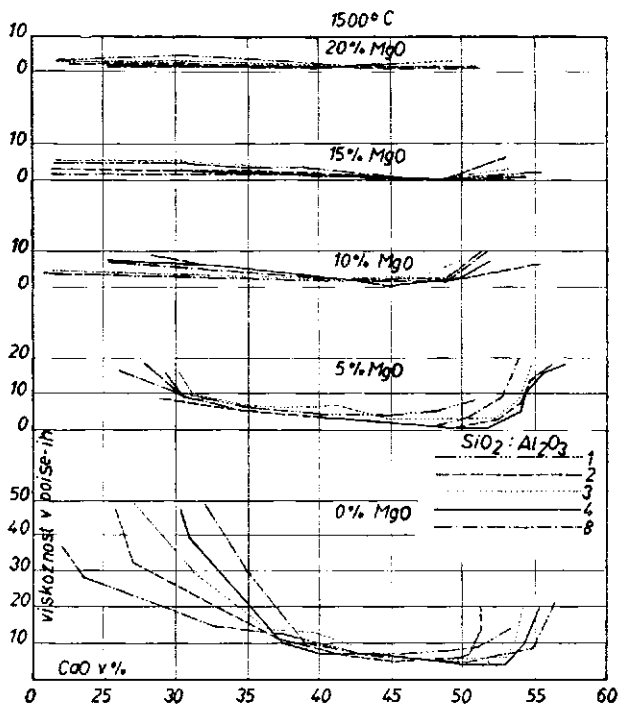
Nastaja še vprašanje vplivnega MgO , ki delno zamenjuje CaO , na razšteplanje. L. Bell ugotavlja, da komponenta MgO vpliva na razšteplanje, medtem ko ameriški strokovnjaki dokazujejo iz izvršenimi poizkusi na visokih pečeh v vzhodni Pensilvaniji, da MgO ne vpliva pomembno pri taljenju na grodelj z nizkim žveplom. Termokemični podatki kažejo, da ima MgS manjši topotni efekt (84390 kal), kot CaS (109.790 kal), kar naj bi pomnilo manjšo sposobnost razšteplanja pri komponenti MgO . Prav tako se je domnevalo, da pri učinkovanju žlindre, ki vsebuje Mg , na FeS , nastaja MnS . Z laboratorijskimi preiskavami pa je bila ta domnevna ovržena, ker Mg silikat, ki vsebuje 60% SiO_2 in 40% MgO , omogoča popolno razšteplanje pri 1585 stopinj Celzija. Potrdile pa so te preiskave tudi ugotovitev, da nadomeščanje apna z enako količino MgO le znižuje sposobnost žlindre pri razšteplanju. Koristno vlogo MgO je bilo opaziti v tem, da je bil MgO sredstvo, s katerim je mogoče regulirati tekočnost žlindre, čeprav je potrebno za doseganje takšega efekta povišati količino ($\text{CaO} + \text{MgO}$) glede na to, ker se je koncentracija poslednjega v žlindri povečala. Največjo stopnjo razšteplanja daje žlindre, ki vsebuje 15% MgO in 45% CaO , kar prikazuje tudi naslednja razpredelnica:

Koncentracija MgO v žlindri %	0	5	10	15	20
($\text{CaO} + \text{MgO}$) %	52	55	58	60	63
Največja stopnja razšteplanja	14	23	84	110	55

Stopnja razšteplanja je definirana z razmerjem koncentracije S v žlindri in v grodilju. Z menjavanjem temperature žlindre se spreminja tudi to razmerje (na primer pri 1525 stopinj Celzija je dvakrat večje kot pri 1475 stopinj Celzija). Vrednosti v razpredelnici so bile dobljene pri najboljšem možnem koeficientu razdelitve in je bilo to zvezzano s precej večjo tečjo talila, žlindre in s tem seveda povečano porabo koksa.

Poleg omenjenih ugotovitev je za proces v visoki peči važen tudi razkrok karbonatov, ki sodelujejo v sestavi priklaš v visoki peči. Razpad takih karbonatov, ki po svoji geneci niso sedimenti vodnih raztopin, se prične z izločanjem CO_2 po naslednjem vrstnem redu:

Priklaš	Po Friedrichu temperatura izločanja °C	Po A. A. Baikovu in A. S. Tamarevu CO_2 (pritisak CO_2 1 atm) °C	
		CO_2 (pritisak CO_2 1 atm)	CO_2 (pritisak CO_2 1 atm)
MgCO_3	570	640 do 660	
$\text{MgCa}(\text{CO}_3)_2$	750 do 895		735 do 905
CaCO_3	895	900 do 921	



Slika 12

Ta temperatura disociacije je odvisna od fizikalnih lastnosti mineralne substance. Pri marmoru je maksimalna 921 stopinj Celzija, minimalna pri nekristaliziranem apnencu, pri čistem kalcitu pa 910 stopinj Celzija.

Pri preiskavki v laboratoriju je bilo ugotovljeno, da razkroj CaCO_3 v vakuumu, in ne v CO_2 atmosferi, ne nastopi praktično do 650°C, energično pa se prične razkroj v intervalu temperature od 775 do 800°C. V visokih pečeh, kjer je parcialni pritisk CO_2 v plinih manjši od 1 atm, poteka razpad CaCO_3 med 800 in 900°C.

Pri preiskavah MgCO_3 se je v novejšem času ugotovilo, da so temperature razkroja bile višje, kot jih navaja Friedrich in enake onim, ki jih navajata Baikov in Tamarev. Disociacija dolomita pričenja pri 735°C v CaCO_3 in MgCO_3 , pri čemer se CO_2 pospešeno izloča iz MgCO_3 in se zaključi v struti CO_2 pri pritisku 1 atm pri 905°C.

Ekonomski vidiki zahtevajo, da se uporablja kot prilada predvsem sam apnenec, čeprav bi bilo zaželeno delati včasih tudi z drugimi prilikami. V primerih, kjer je dolomit z ekonomskega ali geološkega vidika priladnejši, je mogoče tudi dolomit koristno uporabljati pri taljenju vsake vrste grodila.

2. Apnenec kot dodatek v SM peči

Pri taljenju jekla v SM peči se uporablja kot dodatek le kvalitetni apnenec in produkt žganega apnencu – apno. Ustrezač apnenec naj vsebuje:

CaO min	50 %
MgO max	1,5 %
S max	0,05 %
SiO_2 max	1,5 %
$\text{Fe}_2\text{O}_3 + \text{Al}_2\text{O}_3$ max	2 %
P max	0,03 %

Apnenec oziroma žgano apno postaneta na ta način edini izvor CaO , glavne komponente v žlindri SM peči. Količina apnencu in apna v vložku odloča v glavnem razmerje količin tekočega grodila in starega želzca. Pri vložku, ki ga sestavlja tekoči gredelj in staro želzco, dodajamo lahko apno ali apnenec. Apnenec se dodaja zato, da bi se povečal učink mesanja oziroma kuhanja kopeli te-

daj, ko apnenec »kipi«. Navadno se dodaja apnenec v vložek v začetku, če pa je potrebno dodajanje med rafinacijo, se v glavnem dodaja žgano apno za tvorbo prve žlindre, ki že nastalo žlindro manj ohlaja, potrebno ga je polovico manj in odpade poraba topote, ki je sicer potrebna za izgon CO_2 . Pri delu s hladnim vložkom je prav tako zaželeno izkoristiti vlogo apnence za premešavanje kopeli, vendar se zaradi skrajšanja časa taljenja raje uporablja žgano apno. Največkrat se apnenc ne uporablja za nastanek prve žlindre v periodi rafinacije. Prosti CO_2 se izkoristi pri tem poteku oksidacije z oddajo kisika železu.

Pri uporabi apnence, kot pri taljenju sodelujoče komponente, je potrebno poznati ustrezačo količino prostih bazičnih oksidov (% $(\text{CaO} + \text{MgO}) - 2,5\% \text{SiO}_2$), kar je seveda odvisno od kemične sestave apnence. Vsak percent SiO_2 v apnencu zmanjša namreč vsebovanje bazičnih oksidov približno za 2,5 %. Glede na kemično analizo mora dobr apnenec imeti približno 98 % $(\text{CaO} + \text{CO}_2)$ in vsebovati čim manj Mg, ker se tak apnenec bolje razaplja v prvi žlindri. Lambing nasprotno splošnemu nazirjanju dokazuje, da se pri dolgotrajnem taljenju dosegajo boljše stanje dna peči pri delu z apnenci, ki vsebujejo do 2 % Mg. Koncentracija S v apnencu je navadno nizka, vendar je priporočljivo voditi evidenco o količini S posebno takrat, ko zahteva jeklo vložek z zelo nizkim S.

Analize apnencev iz različnih nahajališč, ki se uporabljajo v metalurških procesih v železarni Jesenice, so prikazane v razpredelnici:

Nahajališče	Sestav v %					Količina prostih bazičnih oksidov	
	CaO	MgO	SiO_2	R_2O_3	S	CO_2	
Vremski Britof	54,05	1,44	0,40	0,38	0,088	41,97	54,49
Kresnice I	50,91	1,61	4,80	1,18	0,008	37,92	40,52
Kresnice II	54,50	1,44	0,16	0,42	0,008	39,62	55,54
Repentabor I	49,12	5,63	1,30	1,22	0,017	40,76	51,50
Repentabor II	55,62	1,28	0,36	0,38	0,008	39,78	56,00
Jesenice I	52,71	2,89	0,20	0,10	0,025	41,44	55,1
Jesenice II	31,40	21,50	0,20	0,16	0,030	45,20	52,4

Fizikalne lastnosti apnencev

V odvisnosti od pogojev, ki jih stavlja želzarne, nastopa apnenec v kosih, dimenzijs 75 do 200 mm. Del apnenceva je lahko tudi v kosih, manjših od 75 mm, ki nastanejo z radi prekladanja in premetavanja drobljenca. Koč je bilo že omenjeno, je ena od važnih karakteristik apnenceva njevovo mešalno delovanje v času taljenja, ki daje pri razkroju CO_2 . Kas. ki je potreben za ta razkrok oziroma čas izločanja CO_2 , je funkcija temperature, dimenzijskih odnosov in oblike kosov apnenceva, kakor tudi parcialnega tlaka CO_2 v atmosferi. Razkrok apnenceva se pričenja na površini in se širi nato proti sredini z enako hitrostjo v vseh smereh, odvisno od temperature. Pri določenem sestavu apnenceva in pri isti temperaturi je hitrost razkrajanja definirana z velikostjo površine, kar pomeni, z dimenzo oziroma obliko kosov. Pri enakih pogojih se kos apnenceva, ki ga omejujejo ploskve, hitreje razkraja od okroglega kosa apnenceva. Kosi z nepravilnimi oblikami imajo namreč od 20 do 50 % večjo površino kot okrogli pri isti prostornini. Ceprav je bilo ugotovljeno, da se nekateri apnenci hitreje razkrajajo od drugih, ni mogoče reči, da to bistveno vpliva na tok procesa. Vežnejša od hitrosti razkrajanja apnenceva je hitrost razapljaljanja. Ti svojstvi pa vedno ne sovpadata. Na osnovi opazovanj pri uporabi različnih apnencev, ki se po kemičnem sestavu le malo razlikujejo, je domnevati, da na hitrost razapljaljanja vplivajo le fizikalna svojstva. V gotovih primerih se razkrajajo kosi apnenceva še v fazu dviganja na površino, medtem ko se pri drugih spajajo z žlindrom, s katero se dvignejo nato na površino v obliki mase,

ki je težko taljiva. Pogoji nastanka takega spajanja so verjetno odvisni v večini primerov od delovanja peči in ne od samega apnenca. Pri enakih pogojih je smatralaže topen tisti apnenec, ki se hitreje raztopi pri prehodu na površino kopeli. Na površini delcev apna se napravi najprej sloj Ca-silikata, ki skuša zaščititi delce apna oziroma apnenca od nadaljnega vpliva žlindre. Da bi taljenje pospešili, dodačajo večje količine raznih dodatkov, na primer jedavec, dobro železno rudo, škajo ali boksi.

Jasno je tudi, da je raztopljanje tem hitreje, čim manjši so kosi CaO in čim enakomerne so razporejeni v sloju žlindre. Reakcija se poživila, ko se dodatki raztopljo in se stičejo površina žlindre veča. Ni pa še preiskano, kako vpliva kakovost apnenca na nastanek in razporejanje delcev apnenca v žlindri.

V procesu izdelave žlindri se, kot je bilo že prej omenjeno, uporablja tudi temperaturno obdelani apnenec – žgano apno. Za pravilno odvijanje procesov v kopci zahtevamo, da tudi apno vsebuje čimmanjši procent SiO_2 ter ostalih primesi. SiO_2 ne zmanjšuje le deleža CaO v apnu, temveč tudi v žlindri, prav za ono količino, ki je potrebna za tvorbo kalcijevega silikata. Dodatki apna na neko želeno stopnjo bazitete se večajo in vodijo do velikih količin žlindre. Prav tako zmanjšujejo razpoložljivo količino CaO dolomitne primesi in ustvarjajo gosto žlindro, ki postaja tako neaktivna. Dobro apno, ki naj služi kot dodatek v SM peči, naj ustreza naslednjim zahtevam:

SiO_2 max	3 %
Al_2O_3 max	1,5 %
Fe_2O_3 max	1,5 %
MgO max	3 %
S max	0,10 %
P max	0,05 %
Zaroizguba max	10 %

Za izdelavo kvalitetnih jekel priporočajo manjšo zaroizgubo, in sicer maksimalno do 4 %. Pri S navaja Leitner kot dovoljeno količino SO_3 , ki ne sme presegati 0,1 %. Nekaj tipičnih analiz apna prikazuje razpredelnica

vzorec	Sestav v %					Zaroizguba
	CaO	MgO	SiO_2	$\text{Al}_2\text{O}_3 + \text{Fe}_2\text{O}_3$	S	
1	93,73	2,03	0,56	0,56	0,200	2,43
2	95,79	0,67	1,14	0,48	0,059	1,40
3	95,79	1,01	0,54	0,45	0,022	1,28

Največjo razliko opazimo v percentih vsebovanja žvepla pri različnih vzorcih apna. Velikost tega elementa se spreminja v odvisnosti od geneze ter načina in temperature obdelave apnenca. Nizka koncentracija S (manjša od

0,1 %), je zaželena pri proizvodnji nekaterih kvalitet jekel, posebno todaj, če je srednja koncentracija S že pri ostalih materialih vložka višja.

Dobro žgano apno je potrebno varovati tudi pred vplivom vlage, ker je razpadlo apno neprimerno. Zaradi vlage nastali $\text{Ca}(\text{OH})_2$, vsebuje kemično vezano vodo, katere ni mogoče odpraviti s sušenjem, temveč je potrebno predgrevanje stopnje do rdečega žara, do temperature razpadanja $\text{Ca}(\text{OH})_2$. Pri vlaganju $\text{Ca}(\text{OH})_2$ v poč odda ta pri dotiku s tekočo kopeljo jekla in razkroju vode svoj H_2 in O_2 jeklu.

Literatura:

L. Marič: Sistematska petrografia
Grubenmann-Nigli: Die Gesteinsmetamorphose

V. I. Luščki: Sokraščeni kurs petrografij 1948

Geološki zavod: Poročilo o geološkem kartiraju severnega pobočja Mežakle

R. Peele: Mining Engineer's Handbook I, II, 3 Edition

J. Tiringer: Kamnolomi apnenca v LRS ter uporaba apnenca v industriji in tehniki

C. Rekar: Zelezarstvo I. 1949

M. A. Pavlov: Rasčet domennih šiht 1947

Committee on Physical Chemistry of Steelmaking: Basic Open Hearth Steelmaking

M. A. Pavlov: Metalurgija čuguna II.

Priročnik za kakovost sirovina i pomočnog materijala

Kratki spravočnik metalurga

F. Leitner, E. Plöckinger: Die Edelstahlerzeugung

VI. Zaključek

Naraščajoča proizvodnja industrijskih podjetij, ki v svojem tehnološkem procesu uporabljajo apnenec kot glavno ali pomočno surovino, postavlja pred producente apnenca naložo, kako zadovoljiti zahtevam potrošnikov po kvaliteti in količini. Morda je res težko razumeti, da pri tem rudnem blagu nastaja problematika, tako v pogledu kvalitete, kot kvantitete, čeprav je okoli nas ali v naši neposredni bližini videti dovolj te kamenine. Razumljivejša postane ta problematika, če vemo, kako različne zahteve glede kvalitete postavljajo različni tehnološki procesi, v katerih sodocljuje apnenec kot mineralna surovina in iz kakšnih geoloških prilik izvira njegov nastanek, in poleg kemičnih še njegove petrografske in fizikalne lastnosti. Za dobro in pravilno izkorisčanje apnenca je potrebno poznati vse omenjene prilike in lastnosti, poleg tehnološkega postopka, v katerem se uporablja apnenec. Prav tako je posvetiti več pozornosti in študija samemu pridobivanju, kar utemeljuje že tako mnogovrstna uporaba.

Kot smo videli v razpravi, služi apnenec v metalurgiji predvsem v visokih pečeh kot prikleta. V obliki žganega apna, redkeje v obliki apnenca pa se kot nemetalni vložek uporablja tudi pri bazičnem postopku v SM peči. V obeh primerih služi za izdelavo žlindre in pravilnemu odvijanju metalurških procesov med žlindro in surovim železom oziroma med žlindro in tekočim jekлом.

Nove knjige v strokovni knjižnici

Lončar — Uvod u električne mjerjenja

Swaluw — Einführung in die Fernseh-Servicetechnik

Schaafsma — Moderne Qualitätskontrolle

— Hundert Jahre Cowper Winderhitzung

Riek — Kunstlicht und Photographic

Siegel — Nonparametric Statistics for the Behavioral Sciences

Plank — Handbuch der Kältetechnik, Bd. III

Hornauer — Industrielle Automatisierungstechnik
— Livarski priročnik

Eležanovskij — Elektroprivod reversivnih stanov gorjačej prokatki

Tercšenko — Avtomatičeskoe upravlenie elektro-dvigateljami s korotkozamkiutim potorom

I. Mohorič — Zgodovina obrti in industrije v Tržiču
— DIN Taschenbuch 20, Mineralöl- und Brennstoffnormen

- Bazilevič — Metod eksperimentalnogo izsledovanja domennogo processa
- Erdmann-Jesnitzer — Werkstoff und Schweisung II
- Beljankin — Technische Petrographie
- Friedrich — Tabellenbuch für die Elektrotechnik
- Salmag — Die Keramik, 4. Aufl.
- Reimer — Elektronenmikroskopische Untersuchungs- und Präparationsmethoden
- Chr. Rose — Industrielles Fernsehen
- Wastschenko — Magnesiumbehandeltes Gusseisen — Regelungstechnische Praxis 1959, 1960 — Obrabotka stali
- Hanke — Prüfung metallischer Werkstoffe, Bd. II — Hemijski priročnik
- Dobovišek — Fizikalna kemija metalurških procesov
- Norton — Refractories
- Brunhuber — Legierungshandbuch der Nichteisenmetalle
- Niemann — Maschienenelemente, Bd. I, II
- Pavlovič — Priročnik za upotrebu čelika
- Matanovič — Splošna elektrotehnika II
- Kolhoff — Polarography, Vol. 1, 2
- Kolhoff — Volumetric Analysis, Vol. 3
- Boltz — Colorimetric Determination of Nonmetals
- Codel — Analytical Chemistry of Titanium Metals and Compounds
- Lewis — Elements of Mining
- Hewes — American Highway Practise, Vol. 1
- Pavlov — Gornie raboti
- Pritula — Zašita zavodskih podzemnih truboprovodov ot korozi
- Sisojan — Električeskaja duga v električeskoj peći
- Schumacher — Die Gas-Energie
- Heiligenstaedt — Wärmetechnische Rechnungen für Industrieöfen, 3. Aufl.
- Schack — Der Industrielle Wärmeübergang, 5. Aufl.
- Ernst — Die Hebezeuge, Bd. I, II, III
- LLoyd's Register of Shipping — Rules and Regulations for the Construction and Classification of Steel Ships

POPRAVEK

Pri izdelavi risb za kliširanje k članku ing. Kramarja »Delovanje električne peći na tokovni lok« so se nam vrinile pomote, ki jih s tem popravljamo.

Pri sliki št. 1 na str. 34 bi moralo biti pravilno napisano R_s namesto P_s . Pri risbi št. 2 na isti strani mora biti pravilno napisano R_K namesto P_K . Pri sliki št. 8 na str. 37 mora biti pravilno napisano I_2 namesto I_K . Na sliki št. 5 mora biti na vektorju $U' R$ vektor I_p .